

Pathfinding su giochi grid-based

Lentisco Francesco

N86001092

Chapter 1

Introduzione

1.1 Problematica del pathfinding

Il requisito base di ogni agent di un videogioco è essere in grado di muoversi all'interno dell'ambiente di gioco. Il problema del movimento nei videogiochi si può scomporre in due sottoproblemi: locomozione e *pathfinding*. La locomozione si occupa dello spostamento fisico di un agente di gioco mentre il pathfinding si occupa di pianificare un percorso valido verso la nuova posizione desiderata dall'agente di gioco.

Tuttavia il problema del pathfinding non riguarda solamente i videogiochi. Esso è infatti ampiamente discusso anche in ambito di networking e robotica. L'approccio al pathfinding è fondamentalmente simile nei diversi campi di ricerca, ma i requisiti e i vincoli possono invece differire notevolmente. I videogiochi essendo per loro natura dei sistemi real-time e multiagent impongono dei vincoli molto stretti al problema del pathfinding. Altri fattori come la dinamicità dei moderni videogiochi aumentano ulteriormente il grado di complessità del problema. L'obiettivo di questa tesi è dunque fornire una visione di insieme sul problema del pathfinding riguardo i videogiochi, ponendo l'attenzione su diverse tecniche di ricerca su grafi, i loro vantaggi e criticità accennando anche ad alcuni aspetti riguardanti il *game design*.

1.2 Grafi di navigazione

Affinchè un algoritmo di pathfinding possa effettuare una ricerca in un ambiente di gioco, deve anzitutto essere in grado di *comprendere* quest'ultimo. La geometria dell'ambiente di gioco può essere molto complessa e irregolare e pertanto inadatta per effettuarvi ricerche. Occorre dunque che l'ambiente di gioco sia semplificato separatamente in una *mappa di navigazione* fruibile agli algoritmi di ricerca.

La struttura dati più semplice in grado di rappresentare la mappa di navigazione di un ambiente di gioco è il grafo. Si definisce grafo come una coppia $G = (V, E)$ di insiemi finiti con V insieme dei nodi ed E insieme degli archi, tali che gli elementi di E siano coppie di elementi di V ($E \subseteq V \times V$). Un vertice (o *nodo*) è semplicemente il dato che vogliamo rappresentare come grafo, mentre un arco è un collegamento tra due vertici. Ogni vertice può avere molteplici archi che lo collegano ad altri vertici del grafo.

Un grafo che contiene i dati di navigazione di un ambiente di videogioco è chiamato *grafo di navigazione* (*navgraph*). In un grafo di navigazione, ogni nodo rappresenta una possibile locazione dell'ambiente di gioco. Inoltre ogni nodo mantiene una lista di nodi direttamente accessibili da quel nodo (nodi adiacenti) con relativo costo di attraversamento (peso di un arco).

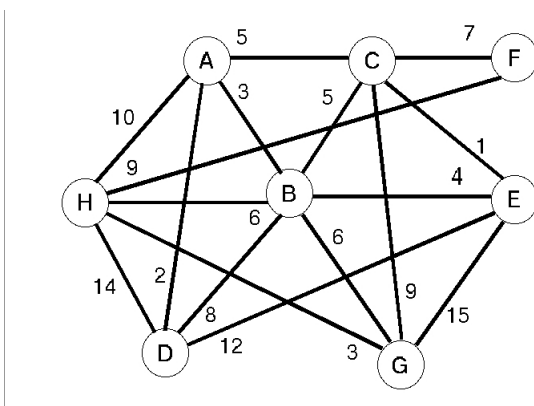


Figure 1.1: grafo pesato

Un grafo di navigazione può essere considerato come una *astrazione* dell'ambiente di gioco. Il metodo di astrazione comporterà la grandezza e la complessità del grafo di navigazione risultante. Vedremo nelle prossime sezioni alcuni comuni tecniche.

1.2.1 Waypoint

I waypoint sono una comune tecnica di astrazione per creare un grafo di navigazione dell'ambiente di gioco. Tipicamente, si posizionano manualmente dei punti di navigazione (che rappresentano i nodi del grafo risultante) nell'ambiente di gioco durante la fase di design del livello. Questi vengono poi collegati manualmente o automaticamente (collegando i nodi che hanno tra loro una linea di visibilità diretta).

La figura 1.2 mostra il posizionamento e il collegamento di waypoint in un ambiente di gioco di esempio. Come possiamo osservare, tale tecnica minimizza i numeri di nodi necessari, ma ciò comporta che il grafo risultante potrebbe non coprire la totalità delle possibili locazioni dell'area di gioco.

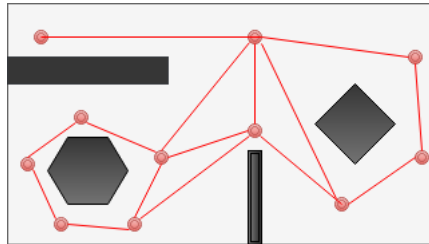


Figure 1.2: grafo di navigazione basato su waypoint creato manualmente

Esistono inoltre tecniche di generazione di waypoint automatizzate, ma a causa del loro grado di complessità il loro utilizzo è limitato tipicamente ad una fase di preprocessamento del livello. Purtroppo tali tecniche, oltre a non poter garantire una copertura della totalità dell'area di gioco, possono includere nodi ed archi ridondanti, influenzando negativamente sulle prestazioni degli algoritmi di ricerca.

Una delle varianti è basata sulle linee di visibilità. I nodi generati vengono posizionati automaticamente sugli spigoli dei poligoni convessi ed infine connessi tra loro a due a due se esiste una linea di visibilità diretta. Tuttavia questo approccio, come possiamo vedere in figura 1.3, comporta un notevole numero di nodi e archi ridondanti.

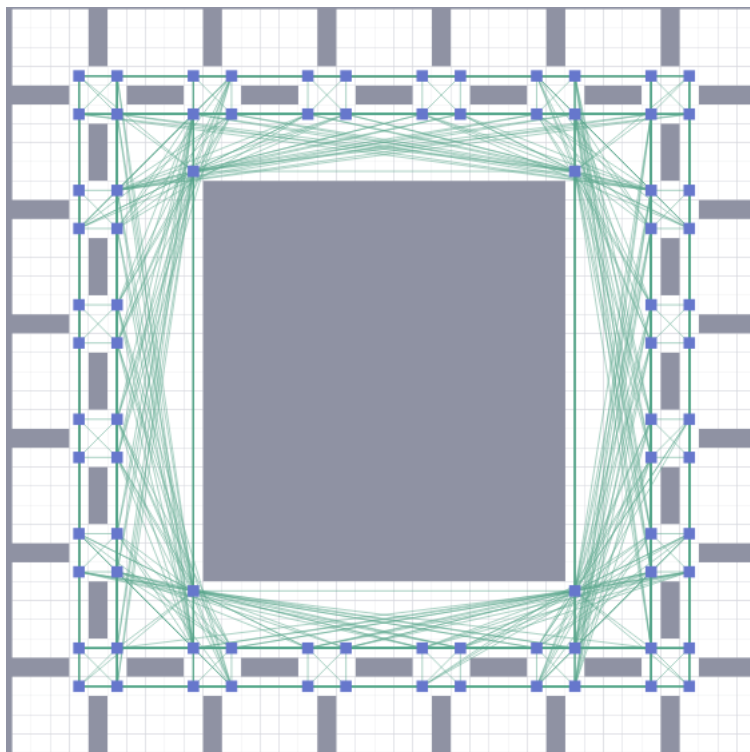


Figure 1.3: grafo di navigazione basato su waypoint creato automaticamente con approccio di linee di visibilità

In generale, un altro problema di cui questa tecnica soffre è la dinamicità dell'area di gioco. Nel caso in cui avvenga un cambiamento nell'area di gioco non è garantita la qualità dei waypoint automaticamente generati, pertanto tale tecnica dovrebbe essere limitata ad ambienti di gioco statici.

1.2.2 Navmesh

Le navmesh consistono nel rappresentare l'ambiente di gioco utilizzando dei poligoni convessi. In questo caso un poligono rappresenta una intera area nell'ambiente di gioco, invece che una singola locazione. Ogni singola area è connessa alle aree adiacenti.

Esistono diverse metodologie di suddivisione dello spazio di gioco, accomunate dal fatto che le forme utilizzate devono essere convesse poichè non deve esserci alcuna ostruzione tra due punti all'interno dello stesso poligono. Un tipico esempio è la suddivisione dell'ambiente di gioco in triangoli mediante Triangolazione di Delaunay dalla quale è possibile ottenere una ulteriore suddivisione in poligoni di Voronoi .

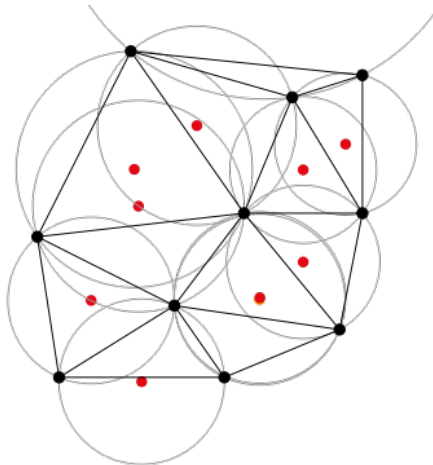


Figure 1.4: Triangolazione di Delaunay con tutti i circumcerchi e i loro centri (rosso)

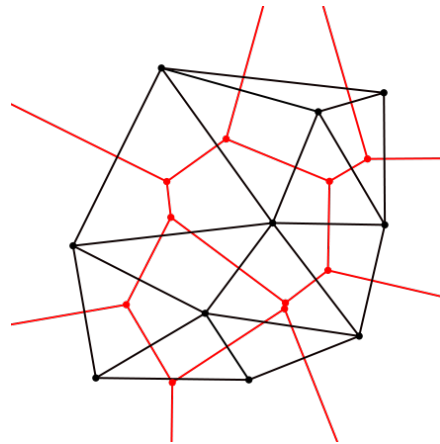


Figure 1.5: Collegando i centri dei circumcerchi si ottiene un diagramma di Voronoi (rosso)

La triangolazione di Delaunay per un gruppo di punti P su un piano è un particolare tipo di triangolazione $DT(P)$ tale che nessun punto appartenente a P sia all'interno del circumcerchio di ogni triangolo in $DT(P)$. Come si vede dalla figura 1.4, si tracciano dei cerchi che connettono i tre vertici di ogni triangolo (circumcerchi) e tali che nessun vertice si trovi all'interno di tali

circonferenze. Quando si connettono i centri dei circumcerchi si ottiene un diagramma di Voronoi (Figura 1.5).

Dato un insieme finito di punti S , il diagramma di Voronoi per S è la partizione del piano che associa una regione $V(p)$ ad ogni punto $p \in S$ in modo tale che tutti i punti del perimetro di $V(p)$ siano più vicini a p che ad ogni altro punto in S . Tale schema di partizionamento è a sua volta utile per estrarre lo scheletro topologico di un'area (voronoi skeleton) che si può definire come una versione dimagrita di quella forma che è equidistante dai suoi confini.



Figure 1.6: scheletro topologico della forma della lettera B

In generale non ci sono particolari limiti o vincoli sullo schema di partizionamento o sui tipi di poligoni da utilizzare, a patto che le aree generate siano convesse. Le sottoaree generate vengono infine connesse alle sottoaree adiacenti. Anche per le connessioni delle sottoaree esistono molteplici approcci. Uno di questi è calcolare il centroide del poligono, ossia, la posizione

media di tutti i suoi punti (Figura 1.7) e connetterlo con il centroide delle aree che condividono un lato. È anche possibile utilizzare gli spigoli (Figura 1.8), il punto medio dei lati dei poligoni (Figura 1.9), o ancora, utilizzare approcci ibridi (Figura 1.10).

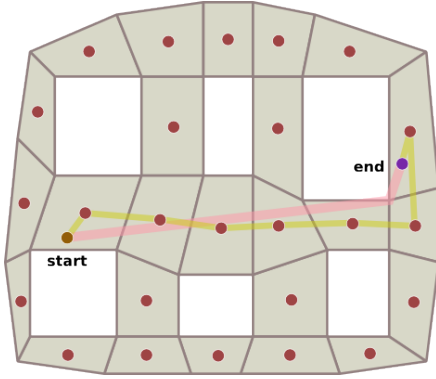


Figure 1.7: mesh collegate mediante il centroide dei poligoni

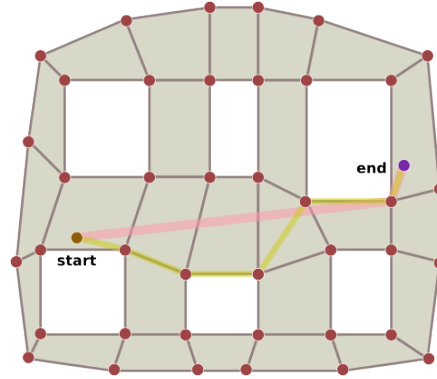


Figure 1.8: mesh collegate mediante gli spigoli de poligoni

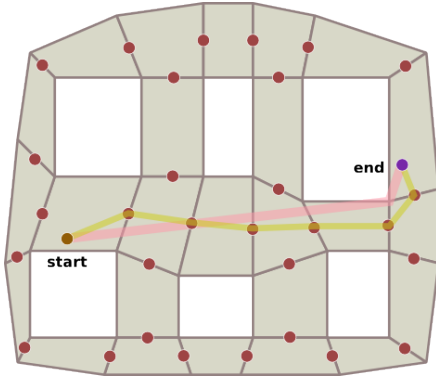


Figure 1.9: mesh collegate attraverso il punto medio dei lati dei poligoni

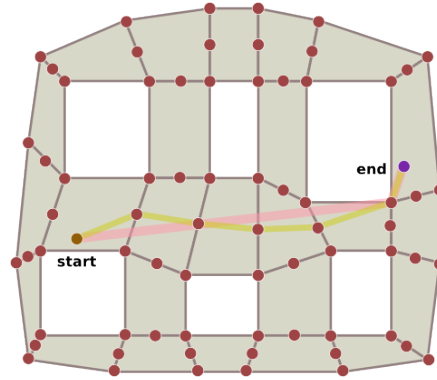


Figure 1.10: mesh collegate ibridamente attraverso spigoli e punti medi dei lati dei poligoni

È evidente come i grafi risultanti dalle mesh di navigazione offrano una rappresentazione maggiormente accurata di ambienti complessi rispetto ai waypoints. Tuttavia l'operazione iniziale di suddivisione può presentare elevati costi computazionali e pertanto tali operazioni vengono tipicamente

eseguite offline.

1.2.3 Griglie

Utilizzare un array bidimensionale è un approccio molto semplice alla rappresentazione di un ambiente di gioco. Ogni elemento dell'array è detto *tile* e assume un numero fissato di valori (*tileset*). Per semplicità si assume che gli unici due valori possibili siano bloccato o traversabile.

Tale approccio vincola dunque l'area di gioco in una matrice con dimensioni fissate di locazioni quadrate che simulano una veduta dall'alto di una regione bidimensionale. Nel progetto proposto ci si è serviti di questo approccio per generare delle mappe in modo casuale.

Ogni *tile* traversabile dell'area di gioco viene mappato in un nodo nel grafo corrispondente. Un nodo, che corrisponde ad una locazione traversabile è connesso a tutti i nodi associati ai tile adiacenti e traversabili. I pesi degli archi che corrispondono a spostamenti ortogonali hanno costo unitario mentre gli archi tra due nodi collegati diagonalmente hanno un costo pari a $\sqrt{2}$.

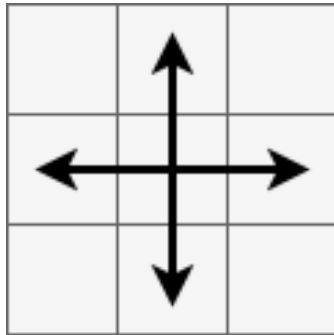


Figure 1.11: In questa griglia i tile sono connessi ortogonalmente con costo unitario

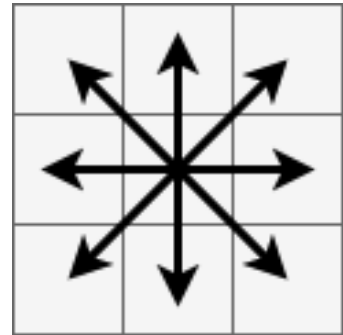


Figure 1.12: Questa griglia consente spostamenti diagonali con costo di $\sqrt{2}$

Per riferirsi a un nodo del grafo partendo dalle sue coordinate sulla griglia e viceversa si usano le usuali formule di conversioni: date le coordinate geomet-

riche x e y di una locazione, il nodo corrispondente avrà come identificativo

$$nodo = y * MAP_WIDTH + x \quad (1.1)$$

dove per MAP_WIDTH si intende la larghezza della mappa. Per riottenere invece le coordinate geometriche di un nodo si utilizzano le seguenti formule:

$$x = nodo \% MAP_WIDTH \quad (1.2)$$

$$y = nodo / MAP_WIDTH \quad (1.3)$$

Chapter 2

Algoritmi di pathfinding

Il *path-planning* è un componente fondamentale della maggior parte dei videogiochi. Gli *agent* spesso si muovono nell'area di gioco. A volte questo movimento è predeterminato dagli sviluppatori del gioco, come ad esempio il percorso di pattugliamento di un'area che una guardia deve seguire. I percorsi predeterminati sono semplici da implementare, ma per loro natura sono facilmente prevedibili. Agent più complessi non sanno in anticipo dove dovranno muoversi. Una unità in un gioco di strategia potrebbe ricevere in tempo reale l'ordine dal giocatore di muoversi in qualsiasi punto sulla mappa, oppure, in un gioco *tile-based* può succedere che un agent debba inseguire il giocatore nell'area di gioco. Per ognuna di queste situazioni, l'IA deve essere in grado di computare un percorso adeguato attraverso l'area di gioco per arrivare a destinazione, partendo dalla posizione attuale dell'agent. Inoltre vorremmo che il percorso trovato sia il più breve possibile.

La maggior parte dei giochi usa delle soluzioni di pathfinding basate sull'algoritmo chiamato A*. Nonostante sia molto semplice da implementare ed efficiente, A* non opera in genere sulla geometria della mappa di gioco. Esso richiede che tale mappa sia rappresentata in una particolare struttura dati: un grafo pesato e non-negativo. In questo capitolo verranno presentati gli algoritmi realizzati nel progetto, tra cui Dijkstra, A* e diverse sue

varianti.

2.1 Dijkstra

Prima di entrare nel vivo degli algoritmi di pathfinding occorre fare alcune precisazioni su cosa si intende per *problema dei cammini minimi*. Nella teoria dei grafi, per shortest-path si intende il cammino minimo tra due vertici, ossia quel percorso che collega due vertici dati e che minimizza la somma dei costi associati all'attraversamento di ciascun arco. Formalmente,

Sia $G = (V, E)$ un grafo orientato con funzione di costo $\omega : E \rightarrow \mathbb{R}$ che associa ogni arco ad un valore nell'insieme dei reali. Sia $p = \langle v_0, v_1, \dots, v_k \rangle$ un cammino che collega il vertice v_1 e al vertice v_k , allora il costo di p è la somma dei pesi degli archi che lo costituiscono:

$$\omega^*(p) = \sum_{i=1}^k \omega(v_{i-1}, v_i)$$

. Dato un cammino p da v_0 a v_k , p è *minimo* sse non esiste un altro cammino p' da v_0 a v_k tale che $w^*(p') < w^*(p)$.

Esistono dunque due varianti del problema: il problema del *cammino minimo* tra una coppia di vertici, e il *problema dei cammini minimi* da un vertice sorgente verso tutti gli altri vertici raggiungibili dalla sorgente. Chiaramente il primo è un sottocaso del secondo.

L'algoritmo di Dijkstra è un algoritmo che risolve il *problema dei cammini minimi* (o Shortest Paths, SP) in un grafo con o senza ordinamento e con pesi non negativi sugli archi.

Mentre nei videogiochi usualmente si computa il percorso minimo da un punto di partenza a un punto di arrivo, l'algoritmo di Dijkstra è realizzato in modo da trovare il percorso più breve da un punto di partenza verso tutti i restanti punti raggiungibili. La soluzione includerà ovviamente anche l'eventuale punto di arrivo, ma ciò comporterà in ogni caso uno spreco di

risorse computazionali se siamo interessati a un solo punto di arrivo. Tuttavia può essere modificato in modo da generare solo il percorso nel quale si è interessati, ma sarà ancora inefficiente come algoritmo di pathfinding.

Dijkstra è un algoritmo iterativo. Ad ogni iterazione, considera un nodo nel grafo ed esamina i suoi archi uscenti (nella prima iterazione considera il nodo di partenza). Ci riferiremo per semplicità al nodo considerato ad ogni iterazione come *nodo corrente*. Per ogni arco uscente dal nodo corrente, viene esaminato ogni suo nodo terminale v e si memorizza il costo totale del cammino totale percorso fino ad arrivare ad esso (*cost-so-far*) e l'arco dal quale si è arrivati ad esso in apposite strutture dati ($dist[v]$ e $prev[v]$ nello pseudocodice). Dopo la prima iterazione, il costo totale del cammino per il nodo terminale di ogni connessione del nodo corrente, è uguale alla somma del costo totale del nodo corrente e del peso della connessione verso il nodo terminale.

L'algoritmo tiene traccia dei nodi da visitare in una coda di priorità. La priorità viene stabilita sulla base del costo totale del cammino associato a quel nodo. Nella prima iterazione la coda conterrà solo il nodo di partenza con costo totale uguale a 0. Nelle successive iterazioni l'algoritmo estrae dalla coda il nodo con il minor costo totale. Questo sarà processato come *nodo corrente*.

Ogni volta che viene esaminato un nodo terminale, l'algoritmo confronta il suo costo totale attuale (all'inizio tutti i nodi vengono inizializzati, assegnandoli un valore di costo di default pari a *infinito*) con quello appena calcolato. Se il costo totale appena calcolato è minore di quello precedentemente assegnato a quel nodo terminale, tale valore viene aggiornato. Ovviamente oltre al valore di costo totale viene aggiornato anche il suo predecessore, che diventerà l'arco che connette il nodo corrente a quello terminale in esame. Quando si verifica questa condizione significa che l'algoritmo ha trovato un percorso migliore verso quel nodo terminale.

L'implementazione canonica di Dijkstra termina quando la coda è vuota,

ossia, quando tutti i nodi appartenenti al grafo sono stati visitati e processati. Tuttavia per risolvere un problema di pathfinding, l'algoritmo può terminare prima che tutti i nodi vengano processati, ossia, quando il nodo di arrivo è il nodo con la priorità più bassa nella in coda.

Una volta raggiunto il nodo di arrivo, viene estratto il cammino percorrendo a ritroso tutte le connessioni usate per arrivare a quel nodo fino a raggiungere il nodo di partenza.

Algorithm 1: Dijkstra Shortest Path

```

1 Function DijkstraShortestPath((V,E), source)
    /* array per tenere traccia del costo totale del
       percorso fino a quel nodo */
2   dist[source]  $\leftarrow$  0;
   /* coda di priorità */
3   Q  $\leftarrow$   $\emptyset$ ;
4   foreach v  $\in$  V do
5       if v  $\neq$  source then
6           dist[v]  $\leftarrow$   $\infty$ ;
7           prev[v]  $\leftarrow$   $\emptyset$ ;
8       end
9       Q.add(v, dist[v]);
10  end
11  while Q  $\neq$   $\emptyset$  do
12      u  $\leftarrow$  Q.extractMin();
13      foreach v  $\in$  V |  $\exists (u, v) \in E$  do
14          alt  $\leftarrow$  dist[u] + length(u, v);
15          if alt < dist[v] then
16              dist[v]  $\leftarrow$  alt;
17              prev[v]  $\leftarrow$  u;
18              Q.updatePriority(v, alt);
19          end
20      end
21  end

```

Tenendo presente che la coda di priorità è implementata come uno *heap di Fibonacci* e che la complessità delle operazioni di **extractMin()** e **updatePriority()** sono rispettivamente $\mathcal{O}(\log(n))$ e $\Theta(1)$, la complessità dell'algoritmo nel caso peggiore è di $\mathcal{O}(|E| + |V| \log |V|)$.

2.2 A*

La maggior parte dei sistemi di *pathfinding* odierni sono basati su questo algoritmo, data la sua efficienza, semplicità di implementazione e ampi margini di ottimizzazione. Diversamente dall'algoritmo di Dijkstra, A* è pensato per la ricerca del percorso minimo *point-to-point*.

Il funzionamento dell'algoritmo è molto simile a quello di Dijkstra. A differenza di quest'ultimo, che sceglie sempre prima il nodo con il minor *cost-so-far*, A* sceglierà il nodo candidato che *più probabilmente* porterà al percorso più breve. Per far ciò, A* utilizza delle funzioni *euristiche*. Maggiore sarà l'accuratezza della funzione euristica utilizzata, tanto più l'algoritmo sarà efficiente.

A* funziona iterativamente: in ogni iterazione considera un nodo del grafo ed esamina i suoi archi uscenti. Il nodo corrente viene scelto usando un criterio di selezione simile a quello di Dijkstra, ma con la significativa differenza dell'euristica.

Come Dijkstra, per ogni arco uscente dal nodo corrente, A* esamina il suo nodo terminale x e memorizza il costo totale del cammino percorso fino ad arrivare ad uno di essi (*cost-so-far*) e l'arco dal quale si è arrivati. Inoltre A* memorizza un valore in più, ovvero, una stima del costo totale $f(x)$ del percorso dal nodo di partenza al nodo di arrivo attraverso x . Questa stima è data dalla somma di due valori: il costo totale *reale* dal nodo sorgente fino al nodo x (*cost-so-far* al quale ci riferiremo come $g(x)$) e la distanza (euristica) dal nodo x fino al nodo di arrivo a cui ci riferiremo come $h(x)$.

Pertanto $f(x) = g(x) + h(x)$. Come vedremo, $f(x)$ fornisce la chiave dell'ordinamento della coda di priorità dell'algoritmo.

A* tiene traccia dei nodi scoperti ma ancora da processare in una coda, a cui ci riferiremo come *Open*, e dei nodi già processati in una lista *Closed*. I nodi saranno inseriti nella coda *Open* appena saranno scoperti lungo gli archi uscenti dal nodo corrente. Essi verranno successivamente trasferiti nella lista *Closed* una volta che diventeranno essi stessi nodo corrente.

Diversamente da Dijkstra, viene estratto dalla coda *Open* il nodo con il minor valore $f(x)$. In tal modo si processeranno per primi i nodi più promettenti.

Potrebbe accadere che si arrivi ad esaminare un nodo appartenente alla coda *Open* o alla lista *Closed* e si debbano modificare i suoi valori di costo. In questo caso ricalcoleremo il valore di $g(x)$ come al solito e se esso è minore di quello già memorizzato, allora verrà aggiornato.

Diversamente da Dijkstra, A^* può trovare cammini migliori per nodi che sono già stati processati, e che quindi si trovano nella lista *Closed*. In particolare, nel caso in cui durante una ricerca si incontra un nodo x appartenente alla lista *Closed* si valuta se il valore $g(x)$ è maggiore del costo del percorso appena scoperto vuol dire che abbiamo scoperto un percorso migliore, e dovremmo aggiornare il predecessore di x e il valore $g(x)$. Tuttavia quando un nodo viene messo nella lista *Closed*, vuol dire che tutti i suoi archi uscenti sono stati processati. Pertanto aggiornare i valori del nodo x non sarà sufficiente, giacchè la modifica deve essere propagata lungo tutte le sue connessioni uscenti.

Esiste un approccio molto semplice per ricalcolare e propagare i valori aggiornati di un nodo appartenente alla lista *Closed*, ossia estrarlo dalla lista *Closed* e inserirlo nuovamente nella coda *Open* con i suoi valori aggiornati. Esso stazionerà nella coda finchè non verrà estratto e processato nuovamente. In tal modo le sue connessioni potranno a loro volta aggiornate nuovamente.

In molte implementazioni dell'algoritmo, A^* viene fatto terminare quando il nodo di arrivo è il nodo con la minima priorità nella coda *Open*. Tuttavia come abbiamo visto, un nodo con il minor costo potrebbe essere rivisitato in un secondo momento. Non possiamo più garantire pertanto che il nodo minimo nella coda *Open* sia quello che porti ad un cammino minimo. Di qui, la maggior parte delle implementazioni di A^* possono produrre risultati non ottimali. Altre implementazioni terminano non appena il nodo di arrivo viene visitato non aspettando che esso diventi il più piccolo nodo nella coda

Open. In ogni caso si ammette che il risultato finale potrebbe essere non ottimale, pertanto sarà a discrezione dello sviluppatore scegliere l'opportuna terminazione.

Algorithm 2: A* Shortest Path

Input: Graph (V, E) , Node *source*, Node *target*

```

1 Function AShortestPath((V, E), source, target)
2   g(source)  $\leftarrow$  0;
3   parent(source)  $\leftarrow$  source;
4   Open  $\leftarrow$   $\emptyset$ ;
5   Closed  $\leftarrow$   $\emptyset$ ;
6   Open.Insert(source, g(source) + h(source));
7   do
8     u  $\leftarrow$  Open.extractMin();
9     if u = target then
10      /* check whether we reached the target vertex */
11      return "path found"
12    end
13    /* We haven't reached the target vertex yet; expand
       the node */
14    expandNode((V, E), u);
15    Closed.add(u);
16 while Open  $\neq$   $\emptyset$ ;
17 return "no path found"

```

Algorithm 3: Expand Node

```

16 Function expandNode((V, E), u)
17   foreach  $v \in V | \exists(u, v) \in E$  do
18     tentativeGScore  $\leftarrow g(u) + c(u, v)$ ;
19     fScore  $\leftarrow tentativeGScore + h(v)$ ;
20     if  $v \in Closed \vee v \in Open$  then
21       /* We re-encountered a vertex. It's either in
22         the open or closed list. */
23       if tentativeGScore  $\geq g(v)$  then
24         /* Ignore path since it is non-improving */
25         continue;
26       end
27       g(v)  $\leftarrow tentativeGScore$ ;
28       parent(v)  $\leftarrow u$ ;
29       if  $v \in Closed$  then
30         /* it's in the closed list. Move node back
31           to open list, since we discovered a
32           shorter path to this node */
33         Closed.remove(v);
34         Open.insert(v, fScore);
35       end
36       else
37         /* It's in the Open list */
38         Open.updatePriority(v, fScore);
39       end
40     end
41   end
42   else
43     /* We discovered a new node */
44     g(v)  $\leftarrow tentativeGScore$ ;
45     parent(v)  $\leftarrow u$ ;
46     Open.Insert(v, fScore);
47   end
48 end

```

Esattamente come per Dijkstra, si recupera il cammino compiuto percorrendo ricorsivamente tutte le connessioni accumulate dal nodo di arrivo fino a quello di partenza.

Generalmente la parte euristica dell'algoritmo viene implementata come una funzione. Di seguito riporteremo alcune delle più comuni funzioni euristiche. Siano u e v due nodi con coordinate rispettivamente di (x_1, y_1) e (x_2, y_2)

- Manhattan distance: $H(u, v) = |x_1 - x_2| + |y_1 - y_2|$
- Euclidean distance: $H(u, v) = \sqrt{(x_1 - x_2)^2 + (y_1 - y_2)^2}$
- Chebyshev distance: $H(u, v) = \max\{|x_1 - x_2|, |y_1 - y_2|\}$
- Octile distance : $H(u, v) = \sqrt{2} * \min\{|x_1 - x_2|, |y_1 - y_2|\} + ||x_1 - x_2| - |y_1 - y_2||$

Se la griglia permette movimenti in quattro direzioni (4-neighborhood), allora è opportuno scegliere la distanza di Manhattan, altrimenti se permette movimenti in otto direzioni (8-neighborhood), la *octile distance* è preferibile. Quest'ultima può essere considerata come una variante della distanza di Chebyshev, tenendo conto che il costo di uno spostamento diagonale è uguale a $\sqrt{2}$. Tutte le funzioni euristiche proposte sono consistenti. Da notare che una funzione euristica $h()$ si definisce consistente (o monotona) sse per ogni nodo n del grafo e ogni successore n' di n , il costo stimato $h(n)$ per raggiungere l'obiettivo è uguale, o inferiore, al peso dell'arco da n a n' sommato al costo stimato $h(n')$. Formalmente, dato un grafo $G = (V, E)$ e una funzione euristica $h()$, allora $h()$ si dirà consistente solo se per ogni nodo $n \in V$ e ogni successore n' di n vale la seguente condizione:

$$h(n) \leq h(n') + c(n, n')$$

Quindi $h()$ è consistente nel caso in cui soddisfa dal punto di vista geometrico la proprietà della *diseguaglianza triangolare*, la quale afferma che in un

triangolo ogni singolo lato non può essere superiore alla somma degli altri due.

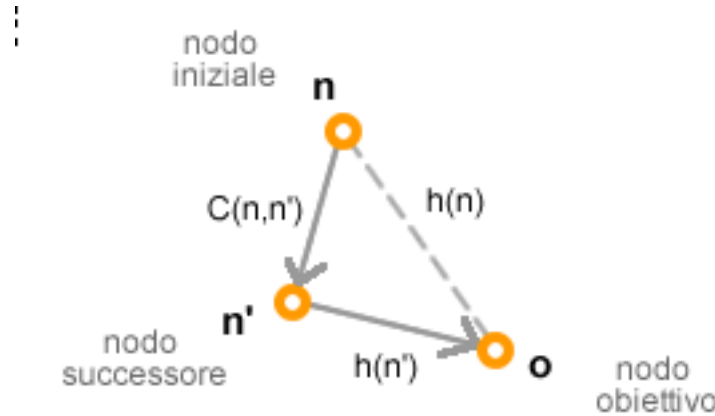


Figure 2.1: diseuguaglianza triangolare

Una funzione euristica si dice ammissibile se non sopravvaluta mai il costo minimo effettivo verso il nodo di arrivo. Una funzione euristica *consistente* è sempre anche *ammissibile* (non è sempre vero il contrario). Formalmente, $h()$ si definisce ammissibile sse $h(v) \leq h^*(v)$, dove $h^*(v)$ è una funzione euristica ideale che restituisce sempre il costo esatto del percorso ottimo per raggiungere il nodo di arrivo.

2.3 Theta*

Uno dei problemi centrali che concernono le Intelligenze Artificiali nei videogiochi è trovare percorsi minimi che allo stesso tempo sembrino realistici. Il *path-planning* si divide generalmente in due parti: (i) discretizzazione, ossia, semplificare un ambiente continuo in forma di grafo e (ii) ricerca, attraverso la quale vengono propagate le informazioni lungo il grafo per trovare un percorso da una locazione di partenza a una di arrivo. Per quanto riguarda la discretizzazione, è importante notare che esistono diversi approcci oltre

alle regolari griglie bidimensionali, come ad esempio le mesh di navigazione (*nav-mesh*), grafi di visibilità e *waypoints*.

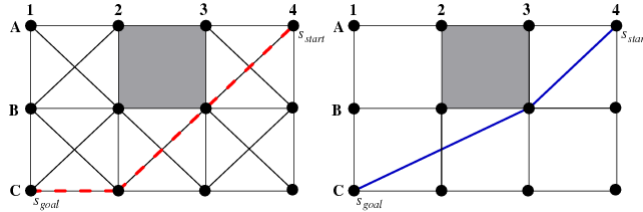


Figure 2.2: Square Grid: A^* vs. Theta^*

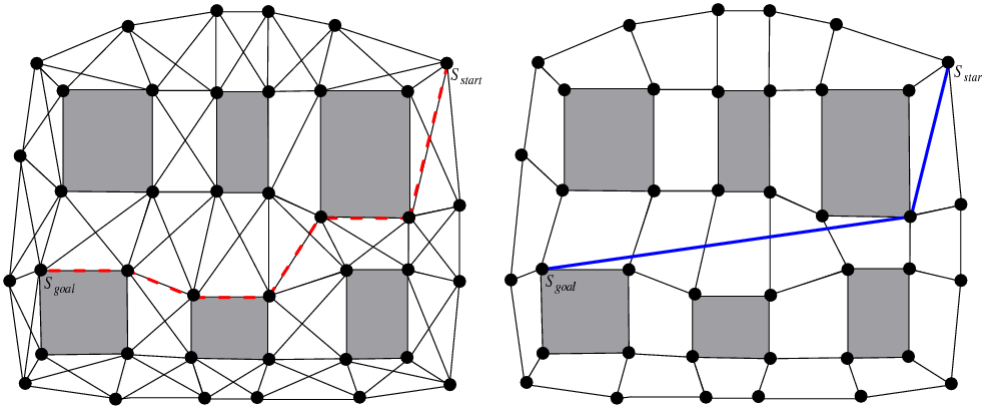


Figure 2.3: Navmesh: A^* vs Theta^*

In ogni caso A^* è quasi sempre il metodo di ricerca scelto a causa della sua semplicità e delle sue garanzie di trovare un percorso ottimo. Il problema con A^* è che il percorso migliore sul grafo spesso non è equivalente al percorso migliore in un ambiente continuo. A^* propaga le informazioni strettamente attraverso le connessioni del grafo e vincola i percorsi ad essere composti da tali connessioni. Nelle figure 2.2 e 2.3, un ambiente continuo è stato discretizzato rispettivamente in una griglia quadrata e in una navmesh. Il percorso minimo, sia nella griglia che nella mesh di navigazione (Figure 2.2 e 2.3, sinistra) è molto più lunga e non-realistica rispetto al percorso minimo nell'ambiente continuo (Figure 2.1 e 2.2, destra)

Una soluzione tipica a questo problema è di applicare una funzione di *path-smoothing* sui percorsi trovati dall'algoritmo A^* . Tuttavia scegliere una buona tecnica di *path-smoothing* che ritorni un percorso che sembri realistico efficientemente può presentare alcune difficoltà. Uno dei principali motivi è che una ricerca di A^* garantisce di trovare solo uno dei diversi cammini minimi, alcuni dei quali possono essere raffinati dalla funzione di *path-smoothing* in modo meno efficiente di altri specialmente con alcuni tipi di euristiche. Ad esempio A^* usato con un tipo di euristica *octile* è molto efficace sulle griglie che permettono movimenti diagonali, ma allo stesso tempo calcola percorsi non-realistici e molto difficili da raffinare perchè tende a considerare gli archi diagonali prima di tutti gli archi ortogonali che compongono il percorso, come mostrato nella figura 2.4 dalla linea rossa discontinua.

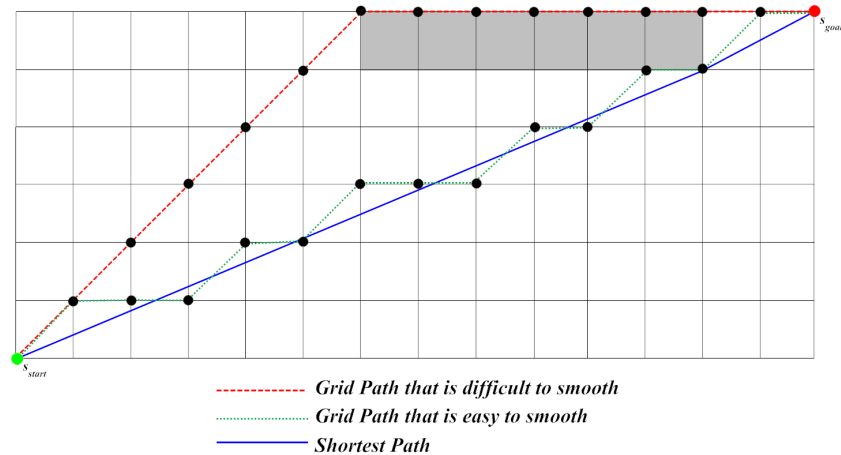


Figure 2.4: Percorso trovato da A^* con differenti tecniche di *path-smoothing*

Algorithm 4: Line of Sight pt. 1

```

1 Function LineOfSight( $u, v$ )
2    $x_1 \leftarrow u.getX()$ ;
3    $y_1 \leftarrow u.getY()$ ;
4    $x_2 \leftarrow v.getX()$ ;
5    $y_2 \leftarrow v.getY()$ ;
6    $dx \leftarrow x_2 - x_1$ ;
7    $dy \leftarrow y_2 - y_1$ ;
8    $f \leftarrow 0$ ;
9    $signX \leftarrow 1$ ;
10   $signY \leftarrow 1$ ;
11   $x_{offset} \leftarrow 0$ ;
12   $y_{offset} \leftarrow 0$ ;
13  if  $dy < 0$  then
14     $dy \leftarrow (-1) * dy$ ;
15     $signY \leftarrow -1$ ;
16     $y_{offset} \leftarrow -1$ ;
17  end
18  if  $dx < 0$  then
19     $dx \leftarrow (-1) * dx$ ;
20     $signX \leftarrow -1$ ;
21     $x_{offset} \leftarrow -1$ ;
22  end
23  if  $dx \geq dy$  then
24    while  $x_1 \neq x_2$  do
25       $f \leftarrow f + dy$ ;
26      if  $f \geq dx$  then
27        if  $blocked(x_1 + x_{offset}, y_1 + y_{offset})$  then
28          return false
29        end
30         $y_1 \leftarrow y_1 + signY$ ;
31         $f \leftarrow f - dx$ ;
32      end
33      if  $f \neq 0 \wedge blocked(x_1 + x_{offset}, y_1 + y_{offset})$  then
34        return false
35      end
36      if  $dy = 0 \wedge blocked(x_1 + x_{offset}, y_1) \wedge$ 
37         $blocked(x_1 + x_{offset}, y_1 - 1)$  then
38        return false
39      end
40       $x_1 \leftarrow x_1 + signX$ ;
41    end
42  end

```

Algorithm 5: Line of Sight pt.2

```

42
43   else
44       while  $y_1 \neq y_2$  do
45            $f \leftarrow f + dx$ ;
46           if  $f \geq dy$  then
47               if  $blocked(x_1 + x_{offset}, y_1 + y_{offset})$  then
48                   return false
49               end
50                $x_1 \leftarrow x_1 + signx$ ;
51                $f \leftarrow f - dy$ ;
52           end
53           if  $f \neq 0 \wedge blocked(x_1 + x_{offset}, y_1 + y_{offset})$  then
54               return false
55           end
56           if  $dy = 0 \wedge blocked(x_1, y_1 + y_{offset}) \wedge blocked(x_1 - 1,$ 
57                $y_1 + y_{offset})$  then
58               return false
59           end
60            $y_1 \leftarrow x_1 + signY$ ;
61       end
62   end
63 end

```

L'algoritmo Theta* risolve queste problematiche. Essendo una variante di A*, similmente propaga le informazioni lungo gli archi del grafo ma senza vincolare i percorsi trovati ad essi (i percorsi con questa caratteristica sono detti *any-angle*). Similmente ad A*, Theta* è di facile implementazione ed efficiente (ha un runtime simile ad A*) ed inoltre calcola percorsi più realistici, senza il bisogno di alcun processo postumo di *path-smoothing*.

Theta* combina due importanti proprietà che concernono il *path-planning*:

- (i) **Grafi di Visibilità:** contengono il nodo di partenza, il nodo di arrivo, e gli spigoli di tutte le celle bloccate. Un nodo è connesso in linea retta ad un altro nodo se e solo se sono in linea di visibilità (*line-of-sight*) l'uno con l'altro, ossia, se non c'è alcuna cella bloccata lungo la linea retta che con-

giunge i due nodi. I cammini minimi sui grafi di visibilità sono tali anche in un ambiente continuo, ma purtroppo il *path-finding* su di essi è inefficiente perchè il numero di archi può essere quadratico rispetto il numero di celle.

(ii) **Griglie:** il *path-finding* su di esse è più veloce rispetto i grafi di visibilità perchè il numero di archi è lineare sul numero di celle. Tuttavia i percorsi basate sugli archi delle griglie possono essere non-ottimali e dall'aspetto non-realistico.

Algorithm 6: Theta*: Expand Node

```

16 Function expandNode( $V, E, u$ )
17   foreach  $v \in V \mid \exists (u, v) \in E$  do
18      $LoS \leftarrow false$ ;
19      $parent \leftarrow parent(u)$ ;
20     if  $parent \neq \emptyset$  then
21        $LoS \leftarrow LineOfSight(parent(u), v)$ ;
22     end
23     if  $LoS$  then
24       /* Path 1: if exists Line of Sight between
25         parent and successor node */
26        $tentativeGScore \leftarrow g(parent) + calcDist(parent, v)$ ;
27     end
28     else
29       /* Path 2: Line of Sight not found: execute
30         plain A* */
31        $tentativeGScore \leftarrow g(u) + c(u, v)$ ;
32        $parent \leftarrow u$ ;
33     end
34      $fScore \leftarrow tentativeGScore + h(v)$ ;
35     if  $v \in Closed \vee v \in Open$  then
36       /* We re-encountered a vertex. It's either in
37         the open or closed list. */
38       if  $tentativeGScore \geq g(v)$  then
39         /* Ignore path since it is non-improving */
40          $continue$ ;
41       end
42        $g(v) \leftarrow tentativeGScore$ ;
43        $parent(v) \leftarrow parent$ ;
44       if  $v \in Closed$  then
45         /* it's in the closed list. Move node back
46           to open list, since we discovered a
47           shorter path to this node */
48          $Closed.remove(v)$ ;
49          $Open.insert(v, fScore)$ ;
50       end
51       else
52         /* It's in the Open list */
53          $Open.updatePriority(v, fScore)$ ;
54       end
55     end
56     else
57       /* We discovered a new node */
58        $g(v) \leftarrow tentativeGScore$ ;
59        $parent(v) \leftarrow parent$ ;
60        $Open.Insert(v, fScore)$ ;
61     end
62   end

```

La differenza principale tra Theta* e A* è che Theta* permette che il predecessore di un nodo sia un qualsiasi nodo (in linea di visibilità), diversamente da A* che vincola il predecessore ad essere strettamente un nodo adiacente. La procedura principale è del tutto simile ad A* e pertanto è stata omessa. Theta* è del tutto identico ad A* salvo per alcune differenze nella procedura *expandNode()*, in alcuni aspetti che concernono l'aggiornamento del valore $g()$ e il predecessore *parent()* di un nodo non ancora esplorato seguendo due possibilità:

- **Path 1:** per permettere percorsi *any-angle*, Theta* considera la lunghezza del percorso dal nodo di partenza al predecessore del nodo corrente $parent(u)$ [$= g(parent(u))$] sommato alla distanza dal predecessore del nodo corrente al nodo successore v in linea retta [$= calcDistance(parent(u), v)$] sse i nodi v e $parent(u)$ sono in linea di visibilità (Linee 23-24). Il principio che c'è dietro questa considerazione è che il Path 1 non è più lungo del Path 2 per la **disuguaglianza triangolare** se il nodo v è in linea di visibilità con $parent(u)$.
- **Path 2:** come visto in A*, Theta* considera il percorso dal nodo di partenza al nodo u [$= g(u)$] e dal nodo u in linea retta [$= c(u, v)$] ad un nodo adiacente v , risultante in un percorso di lunghezza $g(u) + c(u, v)$ (Linee 26-28)

I controlli della linee di visibilità possono essere effettuati in modo efficiente con operazioni aritmetiche di soli interi su griglie quadrate. L'algoritmo usato esegue questi controlli con un metodo standard di *line-drawing* molto comune nelle applicazioni di *computer grafica* (Algoritmi 4 e 5).

2.4 Bidirectional A*

L'algoritmo A*, applicato in modo unidirezionale, può effettuare una ricerca in due possibili direzioni opposte:

- **Forward:** A^* effettua una ricerca dall'agent al target assegnando i loro nodi attuali rispettivamente al nodo di partenza e al nodo di arrivo. Ci si riferisce a questo approccio come **Forward A^*** .
- **Backward:** A^* effettua una ricerca dal target all'agent assegnando i loro nodi attuali rispettivamente al nodo di partenza e al nodo di arrivo. Ci si riferisce a questo approccio come **Backward A^*** .

L'idea del *bidirectional search* può dimezzare il tempo di ricerca di un algoritmo effettuando una ricerca in *forward* e una in *backward* simultaneamente. Quando le due frontiere di ricerca si intersecano, l'algoritmo può ricostruire il percorso seguito che va dal nodo di partenza, passando per il "nodo frontiera", al nodo di arrivo. Tuttavia per garantire miglioramenti sostanziali della ricerca occorre che le due ricerche opposte si incontrino a metà strada.

Per dare l'idea generale dell'algoritmo proposto lo scomporremo nel seguente set di passi. Siano $Open_f$ e $Open_b$ rispettivamente le code di priorità delle due ricerche in *forward* e *backward* aventi rispettivamente $f_{f_{min}}$ e $f_{b_{min}}$ come valori $f()$ minimi, $Closed_f$ e $Closed_b$ i loro set *Closed*, ed inoltre, sia α_{min} la lunghezza del percorso minimo dal nodo di partenza al nodo di arrivo (inizialmente inizializzato ad infinito):

1. Inizializza i nodi di *start* e di *goal*. Inserisci il nodo *start* e il nodo *goal* rispettivamente in $Open_f$ e in $Open_b$.
2. Decidi se effettuare una ricerca in *forward* (vai a step 3) o in *backward* (vai a step 4)
3. Espandi il fronte *forward* con *Forward- A^** e vai allo step 5.
4. Espandi il fronte *backward* con *Backward- A^** e vai allo step 5.
5. se si è scoperto un nodo n tale che $n \in Closed_f \cap Closed_b$, verrà aggiornato il valore α_{min} : $\alpha_{min} = \min(\alpha_{min}, g_f(n) + g_b(n))$. Qui, se

$\alpha_{min} \leq \max(f_{f_{min}}, f_{b_{min}})$ allora l'algoritmo termina e il percorso con lunghezza α_{min} sarà restituito. Altrimenti torna allo step 2.

I punti critici di questo algoritmo si possono riassumere in (i) scelta tra le due ricerche e (ii) terminazione, di cui abbiamo già parlato nel passo 5. Per quanto riguarda invece il primo punto, si intende il criterio di scelta tra ricerca in *forward* o in *backward*. È importante notare che la strategia di scelta tra le due ricerche non influisce sulla correttezza dell'algoritmo quanto piuttosto sull'efficienza. Alcuni esempi di strategia di scelta possono essere:

- alternare una ricerca in *forward* e una in *backward* per ogni iterazione (procedura di Dantzig).
- siano $f_{f_{min}}$ e $f_{b_{min}}$ i valori f minimi nelle code $Open_f$ e $Open_b$, se $f_{f_{min}} < f_{b_{min}}$ allora espandi la frontiera in *forward*, altrimenti espandi la frontiera in *backward* (approccio di *Nicholson*).
- se $|Open_f| < |Open_b|$ allora espandi la frontiera in *forward*, altrimenti espandi la frontiera in *backward* (approccio *cardinality comparsion*).

L'ultima di queste strategie è stata riconosciuta in uno studio pubblicato nel 1969 come la più ragionevole¹ poichè la cardinalità dei set *Open* riflettono un indice di densità delle frontiere *forward* e *backward* e pertanto ci si è attenuti a questa nell'implementazione.

2.5 Adaptive A*

Nel contesto di un videgioco, gli *agent* devono spesso risolvere dei problemi di ricerca simili tra loro. *Adaptive A** è un recente algoritmo in grado di risolvere una serie di problemi di ricerca di natura simile tra loro più velocemente di A* perchè in grado di aggiornare i valori *h* utilizzando informazioni

¹Bi-directional and heuristic search in path problems, Ira Pohl, STANFORD LINEAR ACCELERATOR CENTER Stanford University Stanford, California, 94305

raccolte in ricerche precedenti. Questo algoritmo rende i valori $h()$ consistenti in valori $h()$ più accurati, conservando la loro consistenza.

Fino ad ora si è trattato il problema della ricerca del percorso minimo dando per scontato che il target sia stazionario. Tuttavia non è questo il caso in uno scenario che concerne videogiochi, dove spesso il target è a sua volta un *agent* e può dunque muoversi verso un altro target. Al fine di risolvere queste problematica, si è preferito implementare una versione di Adaptive A* che preveda che il target non sia stazionario: *Lazy Moving Target Adaptive A** (LMTAA*²).

Adaptive A* è un algoritmo di ricerca *incrementale*, dove per incrementale si intende appunto la caratteristica di riusare informazioni raccolte durante le precedenti ricerche. Quando queste informazioni sono appunto i valori euristici calcolati dalle precedenti ricerche, allora si può definire l'algoritmo in questione come *heuristic learning incremental search*. Tuttavia AA* non può essere applicato in situazioni dove il target di ricerca può spostarsi. Questo perchè i valori euristici calcolati in ricerche precedenti allo spostamento del target risulterebbero incoerenti con la sua nuova posizione e si violerebbe la proprietà della *disuguaglianza triangolare*, che è una condizione necessaria affinché una funzione euristica sia *consistente*. Pertanto, Lazy Moving Target Adaptive-A* si può considerare una estensione di Adaptive-A* che risolve la problematica del target mobile, mantenendo consistenti i valori euristici durante le sue ricerche.

²Incremental Search-Based Path Planning for Moving Target Search, Xiaoxun Sun

Algorithm 7: Lazy Moving Target Adaptive A*

```

1 Function CalculateKey(s)
2   | return  $g(s) + h(s)$ ;
3 Function InitializeState(s)
4   | if  $search(s) = 0$  then
5     |    $g(s) \leftarrow \infty$ ;
6     |    $h(s) \leftarrow H(s, s_{goal})$ ;
7   | end
8   | else if  $search(s) \neq counter$  then
9     |   if  $g(s) + h(s) < pathcost(search(s))$  then
10    |     |  $h(s) \leftarrow pathcost(search(s)) - g(s)$ ;
11    |   end
12    |    $h(s) \leftarrow h(s) - (deltah(counter) - deltah(search(s)))$ ;
13    |    $h(s) \leftarrow MAX(h(s), H(s, s_{goal}))$ ;
14    |    $g(s) \leftarrow \infty$ ;
15   | end
16   |  $search(s) \leftarrow counter$ ;
17 Function UpdateState(s)
18   | if  $s \in Open$  then
19     |    $Open.DecreasePriority(s, CalculateKey(s))$ ;
20   | end
21   | else
22     |    $Open.Insert(s, CalculateKey(s))$ ;
23   | end
24 Function ComputePath()
25   | while  $Open.Min() < CalculateKey(s_{goal})$  do
26     |    $u \leftarrow Open.extractMin()$ ;
27     |   foreach neighbor v of u do
28       |     InitializeState(v);
29       |     if  $g(v) > g(u) + c(u, v)$  then
30         |       |  $g(v) \leftarrow g(u) + c(u, v)$ ;
31         |       |  $parent(v) \leftarrow u$ ;
32         |       | UpdateState(v);
33       |     end
34     |   end
35   | end
36   | if  $Open = \emptyset$  then
37     |   return false
38   | end
39   | return true

```

```

40 Function Main()
41   counter  $\leftarrow$  0;
42   sstart  $\leftarrow$  current node of the agent;
43   sgoal  $\leftarrow$  current node of the target;
44   deltah(1)  $\leftarrow$  0;
45   forall s  $\in$  G.vertexSet() do
46     | search(s)  $\leftarrow$  0;
47   end
48   while sstart  $\neq$  sgoal do
49     | counter  $\leftarrow$  counter + 1;
50     | InitializeState(sstart);
51     | InitializeState(sgoal);
52     | g(sstart)  $\leftarrow$  0;
53     | Open  $\leftarrow$   $\emptyset$ ;
54     | Open.Insert(sstart, CalculateKey(sstart));
55     | if ComputePath() = false then
56       | return false/* target out of reach */
57     | end
58     | pathcost(counter)  $\leftarrow$  g(sgoal);
59     | while target not caught AND action costs on path do not
60       | increase AND target on path from sstart to sgoal do
61       | | agent follows path from sstart to sgoal;
62       | end
63       | if agent caught target then
64       | | return true
65       | end
66       | sstart  $\leftarrow$  current node of the agent;
67       | snewgoal  $\leftarrow$  current node of the target;
68       | if sstart  $\neq$  snewgoal then
69       | | InitializeState(snewgoal);
70       | | if g(snewgoal) + h(snewgoal) < pathcost(counter) then
71       | | | h(snewgoal)  $\leftarrow$  pathcost(counter) - g(snewgoal);
72       | | | end
73       | | | deltah(counter + 1)  $\leftarrow$  deltah(counter) + h(snewgoal);
74       | | | sgoal  $\leftarrow$  snewgoal;
75       | | end
76       | | else
77       | | | deltah(counter + 1)  $\leftarrow$  deltah(counter);
78       | | | end
79       | | update the increased
80       | | action cost (if any)
81     | end
82   return true

```

Prima di procedere alla descrizione dell'algoritmo ricordiamo due importanti proprietà di A* che saranno utili a capire alcuni concetti di AA*. Siano $g(s)$, $h(s)$ e $f(s)$ rispettivamente i valori g , valori h e valori f dopo una esecuzione di A*:

1. i valori g di tutti i nodi esplorati e del nodo di arrivo sono uguali alla distanza dal nodo di partenza verso tali nodi. Ripercorrendo l'albero dei predecessori si otterrà dunque un percorso minimo dal nodo di partenza verso tali nodi.
2. Una esecuzione di A* non esplora un numero maggiore di nodi di un'altra esecuzione di A* per lo stesso problema di ricerca (stessi nodi di partenza e di arrivo) se i valori h usati nella prima ricerca non sono minori, per nessun nodo, dei corrispondenti valori h usati nella seconda esecuzione di A*. (ossia, i precedenti valori h sono maggiori o uguali degli ultimi valori h)

La principale intuizione di Adaptive-A* è che sovrascrive i valori h rispetto al nodo di arrivo di tutti i nodi esplorati s dopo una esecuzione di A* eseguendo:

$$h(s) = g(s_{goal}) - g(s) \quad (2.1)$$

Il nuovo valore h di un nodo s è in tal mondo ancora consistente rispetto al nodo di arrivo ed è inoltre maggiore o uguale rispetto il precedente valore h . In questo modo tale valore è maggiormente informato. Ciò comporta che una successiva esecuzione di A* con tali valori aggiornati non esplorerà più nodi della precedente esecuzione.

Adaptive-A* è in grado di risolvere in serie dei problemi di ricerca di natura simile, ma non necessariamente identici. In ogni caso è importante preservare la consistenza dei valori euristici rispetto al nodo di arrivo tra una esecuzione e l'altra. Durante una transizione tra la fine di una esecuzione e l'inizio di un'altra possono presentarsi le seguenti casistiche:

- Il nodo di partenza cambia. In questo caso l'algoritmo procede normalmente perché le euristiche rimangono consistenti rispetto al nodo di arrivo
- Il nodo di arrivo cambia. In questo caso l'algoritmo deve correggere i valori h . Si assuma che il nodo di arrivo cambi da s_{goal} a s'_{goal} e che tutti i valori h in quel momento sono dunque consistenti rispetto al nodo s_{goal} . In questo caso Adaptive-A* aggiorna i valori h di tutti i nodi s nel modo seguente:

$$h(s) = \max(H(s, s'_{goal}), h(s) - h(s'_{goal})) \quad (2.2)$$

In questo modo il nuovo valore h sarà potenzialmente meno accurato del precedente valore h . Tuttavia prendere il massimo tra l euristica fornita dall'utente $H(s, s'_{goal})$ e $h(s) - h(s'_{goal})$ garantisce che il nuovo valore h sia accurato almeno quanto l euristica fornita dall'utente rispetto al nodo di arrivo.

Le considerazioni fatte fin'ora sono valide se si assume che i valori h di tutti i nodi siano inizializzati prima di una esecuzione della ricerca e che vengano aggiornate tutte alla fine di una esecuzione (approccio *eager*). Tuttavia tale approccio non rispecchia l'attuale implementazione, ma ci è stata utile solo al fine di descrivere i principi base dell'algoritmo ad alto livello. Nell'attuale implementazione ci si è invece serviti di un approccio *lazy*, aggiornando il valore h di un nodo solo quando è richiesto durante una ricerca.

L'algoritmo 7 contiene lo pseudocodice della nostra implementazione. Come già accennato, LMTAA* non inizializza i valori h e g in una volta, ma utilizza le variabili `search(s)`, `pathcost(x)` e `counter` per controllare il flusso di esecuzione e decidere quando inizializzarli:

- Il valore di *counter* è pari a x durante la x -esima esecuzione di `ComputePath()`, che di fatto è la x -esima esecuzione di A*

- Il valore di $search(s)$ è pari a x se il nodo s è stato esplorato l'ultima volta durante la x -esima ricerca (o se s è il nodo di arrivo). AA* inizializza questi valori a 0 (linee 45-47)
- Il valore di $pathcost(x)$ è pari alla lunghezza del percorso minimo dal nodo di partenza al nodo di arrivo trovato nella x -esima esecuzione di A* (linea 58)

Dopo le dovute inizializzazioni, l'algoritmo entra in un ciclo iterativo che chiama ripetutamente la procedura di ricerca finché il target non è stato raggiunto. Si noti che, per semplicità nella descrizione dell'algoritmo, si è preferito modellare il problema in modo che l'agent e il target si muovano a turno di un passo alla volta invece che farli muoversi simultaneamente. Dopo una ricerca, se viene trovato un percorso, l'agent si muove lungo di esso finché il target non viene raggiunto o il target si trovi lungo il percorso.

Nei seguenti esempi si proverà a dare una idea del comportamento dell'algoritmo LMTAA*, evidenziando il suo flusso di esecuzione ed i vantaggi che esso offre, rispetto al tradizionale A*. Da tenere a mente che nei seguenti esempi è stata usata la distanza di Manhattan come funzione euristica e che sono stati ammessi solo spostamenti ortogonali nella griglia. In figura 2.5 vi è una legenda che indica come interpretare ogni cella dell'esempio. Inoltre le celle in grigio indicano che quel nodo è stato esplorato nella *counter*-esima ricerca. Inoltre va ricordato che LMTAA* è un algoritmo euristico incrementale. Ciò significa che dovremo simulare più iterazioni affinché le euristiche diventino abbastanza informate per rendere visibili dei concreti vantaggi.

In figura 2.6 vi è una simulazione di una tipica situazione che potrebbe capitare su un terreno di gioco. La prima ricerca di LMTAA* non è diversa da una normale ricerca di A*.

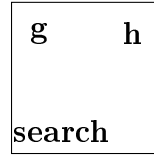


Figure 2.5: Legenda

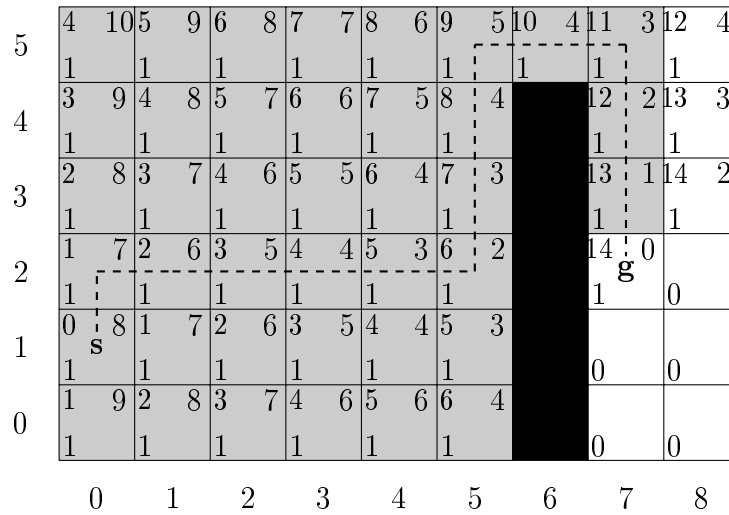


Figure 2.6: LMTAA*: termine iterazione 1

$counter = 1$

$pathcost(1) = 14$

$deltah(1) = 0$

Ia nodi s_{start} (0,1) e s_{goal} (7,2) vengono inizializzati prima di effettuare la ricerca (linee 50-51). Visto che il loro valore $search()$ è inizialmente pari a 0, si entrerà nel primo ramo condizionale della procedura $InitializeState()$ (linea 4). Al termine di tale procedura i nodi di partenza e di arrivo avranno valori h pari rispettivamente a 8 e 0, valori g pari a infinito e valore $search$ pari a 1. Prima di chiamare la procedura principale $ComputePath()$ viene corretto il valore g del nodo di partenza a 0. Partendo da una griglia in cui tutti gli valori g e h non sono stati inizializzati e tutti i valori $search()$ sono nulli, comincia la ricerca nel modo usuale di A*.

Tutti i nodi successori vengono passati alla procedura `InitializeState()` dove verrà computato il loro valore h . Visto che si tratta della prima ricerca verrà eseguito il ramo condizionale sulla linea 4 e verrà inoltre memorizzato il loro valore `search()` a 1

A fine ricerca viene memorizzato il costo del percorso trovato nel mapping *pathcost*(1) (linea 58). A questo punto l'agent sorgente si muove lungo il percorso da (0,1) a (1,2). L'agent target si muove da (7,2) a (8,3), uscendo fuori dal percorso che l'agent sorgente aveva calcolato. L'esecuzione entrerà dunque nel ramo condizionale sulla linea 67. Qui verrà inizializzato il nuovo nodo di arrivo per garantire che i suoi valori euristici siano *coerenti* con con il nodo di arrivo precedente. Nel nostro caso, il nodo (8,3) è già stato scoperto in questa ricerca ed è già consistente verso il vecchio nodo di arrivo. L'esecuzione non entrerà pertanto in nessun ramo condizionale, uscendo dalla procedura `InitializeState()` senza aver apportato modifiche. L'esecuzione salta il ramo condizionale sulla linea 69 poichè non ci sono le condizioni, arrivando direttamente alla linea 72. Qui, il valore di *deltah*(x) durante la x -esima esecuzione, può considerarsi come la somma di tutte le correzioni effettuate fino all'inizio della x -esima ricerca. Si otterrà quindi $deltah(2) = deltah(1) + h((8,3)) = 2$. Infine verrà aggiornato il nodo di arrivo (linea 73) e ricomincerà il loop principale.

L'agent sorgente si vedrà dunque costretto a pianificare un nuovo percorso. Il termine della seconda iterazione è mostrata in figura 2.7.

Figure 2.7: LMTAA*: termine iterazione 2
 $counter = 2$
 $pathcost(2) = 12$
 $deltah(2) = 2$

In generale, se un nodo s è stato esplorato in una esecuzione precedente ($search(s) \neq 0$) ma non ancora esplorato nella ricerca corrente ($search(s) \neq counter$), allora Adaptive-A* aggiorna il suo valore h con la somma di tutte le correzioni tra l'esecuzione che in cui è stato inizializzato il nodo s l'ultima volta e l'esecuzione corrente. Questo valore è uguale a $deltah(counter) - deltah(search(s))$ (linea 12). In questa iterazione in particolare, ci interesserà il fattore di correzione tra l'esecuzione corrente e l'esecuzione 1: $deltah(2) - deltah(1) = 2$. Viene poi scelto il massimo tra il valore euristico corretto con tale fattore di correzione e l'euristica fornita dall'utente per garantire la consistenza del nuovo valore h verso il nuovo nodo di arrivo (linea 13).

Per alcuni nodi vale anche la condizione in linea 9, che una volta iniziati avranno un valore h particolarmente più accurato del precedente. Si veda ad esempio il nodo di coordinate (5,2), che aveva valore euristico pari a 2 nella prima esecuzione e alla fine della seconda sarà invece pari a 6.

Neanche qui sono visibili grandi vantaggi, a parte il fatto che le euristiche cominciano ad essere maggiormente accurate. Ciò vuol dire che ogni nodo sa con maggior precisione quanto dista dal nodo di goal. Più tale stima è accurata, meno saranno i nodi esplorati dalle ricerche future. A questo punto l'agent sorgente si muove da (1,2) a (2,2). L'agent goal si muove da (8,3) a (7,3). Viene calcolato il valore $\text{deltah}(3)$ che sarà pari a $\text{deltah}(2) + h((7,3)) = 2 + 1 = 3$. L'agent sorgente dovrà pianificare un nuovo percorso per la terza volta. In figura 2.8 è mostrata la terza iterazione di LMTAA*.

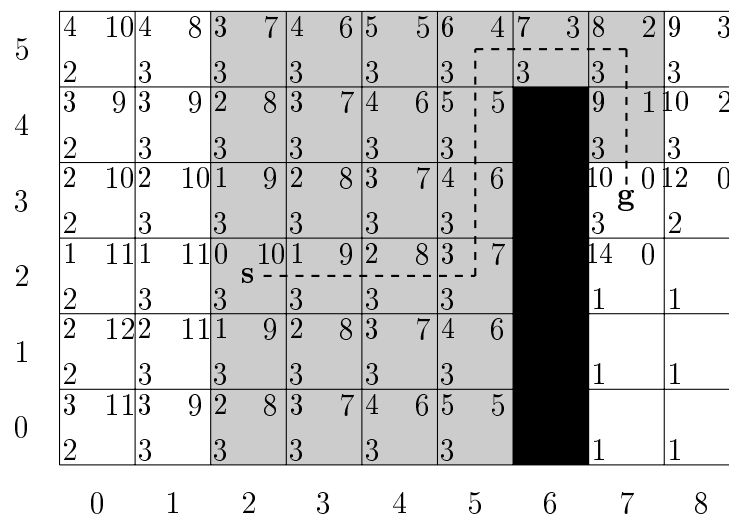


Figure 2.8: LMTAA*: termine iterazione 3

$$counter = 3$$
$$pathcost(3) = 10$$
$$\mathit{deltah}(3) = 3$$

A questo punto le euristiche sono abbastanza informate. Gran parte dei nodi sanno esattamente quanto distano realmente dal nodo di arrivo. Solo

in questa ultima iterazione, sono stati esplorati 27 nodi. Per rendere ben chiari i vantaggi di LMTAA* è stata mostrata, in figura 2.9, la stessa identica situazione di questa ultima iterazione con la differenza sostanziale che l'agent *s* si avvale di A* tradizionale e quindi di euristiche **non** informate.

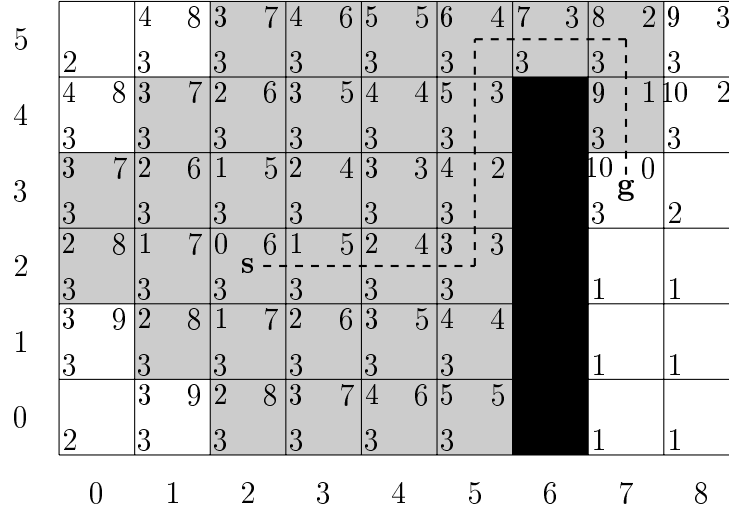


Figure 2.9: Plain A*: termine iterazione 3

A* esplorerebbe 33 nodi, contro i 27 di LMTAA*. A causa delle modeste dimensioni di tale esempio non si può apprezzare una grande differenza, ma si pensi a situazioni in cui un agent deve ripianificare continuamente un percorso verso un altro agent in una griglia con dimensioni superiori di diversi ordini di potenza e in cui il runtime di una singola ricerca è un fattore critico per il funzionamento del sistema. In questo caso un algoritmo di ricerca incrementale è senza dubbio preferibile per via del suo vantaggio di migliorare le proprie prestazioni al crescere delle iterazioni.

2.6 Trailmax

Il problema del *moving target search* (noto anche come *pursuit-evasion* o in italiano *guardie e ladri*) è una famiglia di problemi già noti alla matematica

e all'informatica, ed ha molte applicazioni in particolar modo ai videogiochi.

Spesso nei videogiochi il giocatore controlla un ladro che deve sfuggire ad un poliziotto a sua volta controllato da una intelligenza artificiale. Tuttavia non è raro che lo stesso gioco venga capovolto, ad esempio in modo che il giocatore controlli il poliziotto e che il ladro controllato da una intelligenza artificiale cerchi di sfuggirgli.

Visto che tutti gli algoritmi descritti fin'ora sono applicabili solo all'inseguimento, si è reso necessario lo sviluppo di un algoritmo utile per definire una strategia di evasione per il target. In questo capitolo verrà dunque introdotto un algoritmo che risponde a questa esigenza, chiamato TrailMax³.

Per semplicità nella descrizione dell'algoritmo assumeremo che i due agent abbiano la stessa velocità. Tuttavia tutte le seguenti definizioni sono estendibili anche a differenti velocità. L'idea di fondo di questo algoritmo è che il target assume che l'inseguitore sappia in anticipo qual è il percorso migliore per raggiungerlo. Partendo da questa assunzione il target prova a massimizzare il tempo di cattura, scegliendo quindi un percorso che impiegherà all'inseguitore più tempo per raggiungere l'obiettivo.

Il percorso di evasione è calcolato espandendo simultaneamente i nodi intorno alla posizione dell'inseguitore e del target utilizzando una variante dell'algoritmo di Dijkstra. Vi saranno pertanto due code di priorità, una per l'inseguitore e una per il target. Ogni nodo esplorato dal target è confrontato con quelli esplorati dall'inseguitore al fine di controllare se l'inseguitore potrebbe già aver raggiunto quel nodo e catturato il target. Se è questo il caso, il nodo viene scartato. In caso contrario tale nodo appartiene alla copertura del target e pertanto espanso normalmente. Invece, i nodi presenti nella coda di priorità dell'inseguitore sono sempre esplorati normalmente. Nella figura 2.10 è mostrata una rappresentazione dell'espansione di TrailMax. L'area grigia contiene nodi che sono stati raggiunti per prima dal target, dichiarati

³Evaluating Strategies for Running from the Cops, Carsten Moldenhauer and Nathan R. Sturtevant Department of Computer Science University of Alberta Edmonton, AB, Canada T6G 2E8

come copertura del target, ma che non sono più stati espansi siccome sono stati catturati in seguito dall'inseguitore

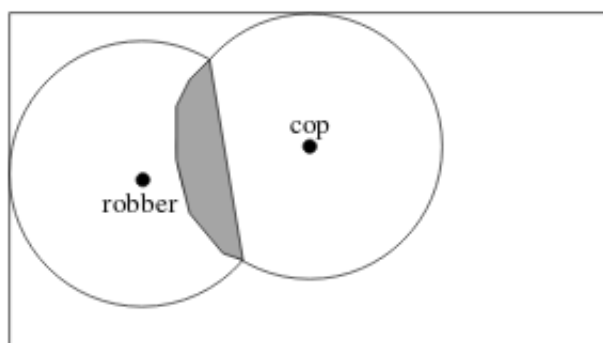


Figure 2.10: Visualizzazione della computazione di TrailMax.

L'algoritmo termina quando tutti i nodi appartenenti alla copertura del target sono espansi anche dall'inseguitore. L'ultimo nodo esplorato dall'inseguitore sarà il nodo che il target dovrà raggiungere. Il percorso viene generato percorrendo a ritroso tutte le connessioni usate per arrivare a tale nodo, fino a raggiungere il nodo di partenza.

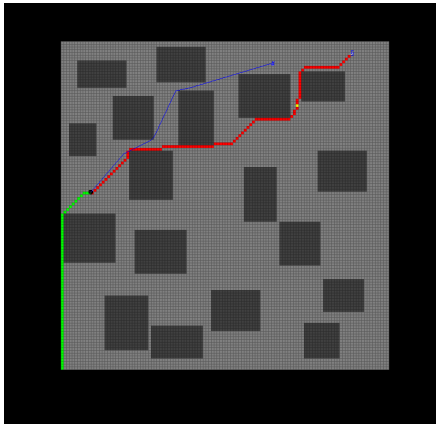


Figure 2.11: TrailMax su mappa outdoor

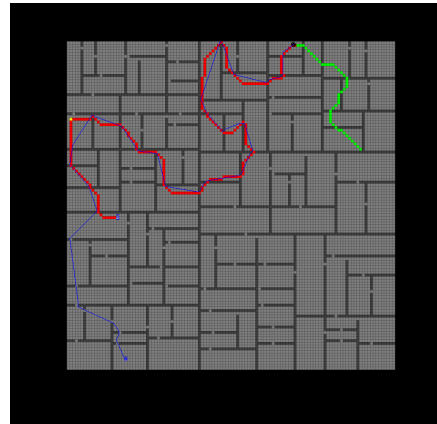


Figure 2.12: TrailMax su mappa indoor

Figure 2.13: Le immagini mostrano il percorso calcolato da TrailMax (verde) che massimizza la distanza dall'agent inseguitore (Rosso)

Chapter 3

Design ed Implementazione

L'implementazione del framework è stata realizzata in linguaggio Java. La definizione delle classi dei grafi è fornita dalla libreria JGraphT¹.

In questo capitolo saranno inoltre descritte le classi che compongono il framework con relativi dettagli implementativi e le loro interazioni.

3.1 Logica di gioco e gestione input

La classe `Game` ha la responsabilità di gestire le informazioni sullo stato di gioco. È la classe del gioco che implementa il game loop nel metodo *gameLoop()*. In tale metodo si svolge la logica del gioco. Il game loop è sempre in esecuzione durante il gameplay e ad ogni iterazione processa l'input dell'utente, aggiorna lo stato di gioco e infine *renderizza* gli elementi di gioco. Tiene inoltre traccia del lasso di tempo che impiega una singola iterazione del ciclo per controllare il *framerate*.

Durante l'inizializzazione del gioco vengono istanziate le classi `Player` e `GameController`. La classe `player` mantiene le informazioni sullo stato del giocatore ed espone dei metodi utili a ricavarne la posizione sul terreno di

¹jgrapht.org: JGraphT is a free Java graph library that provides mathematical graph-theory objects and algorithms

gioco e per muoverlo all'interno di quest'ultima. La classe GameController implementa l'interfaccia java *KeyListener* e gestisce gli input da tastiera e controlla gli spostamenti del giocatore similmente al *design pattern* MVC. Questa classe ha la responsabilità di aggiornare la posizione del giocatore in base a un lasso di tempo *delta* calcolato nel game loop e ai tasti premuti dall'utente.

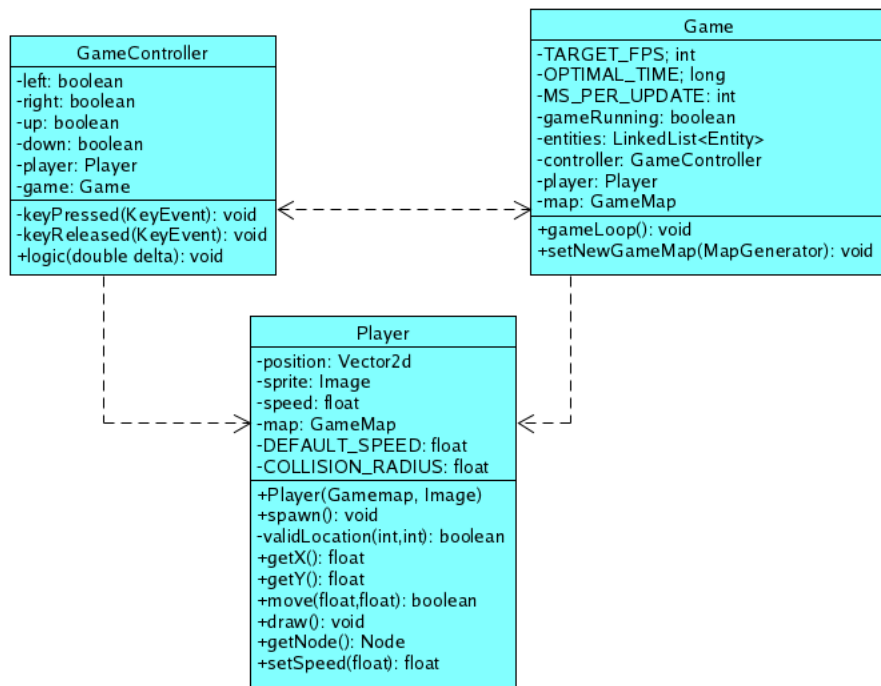


Figure 3.1: Classi Game, GameController e Player

3.2 Ambiente di gioco

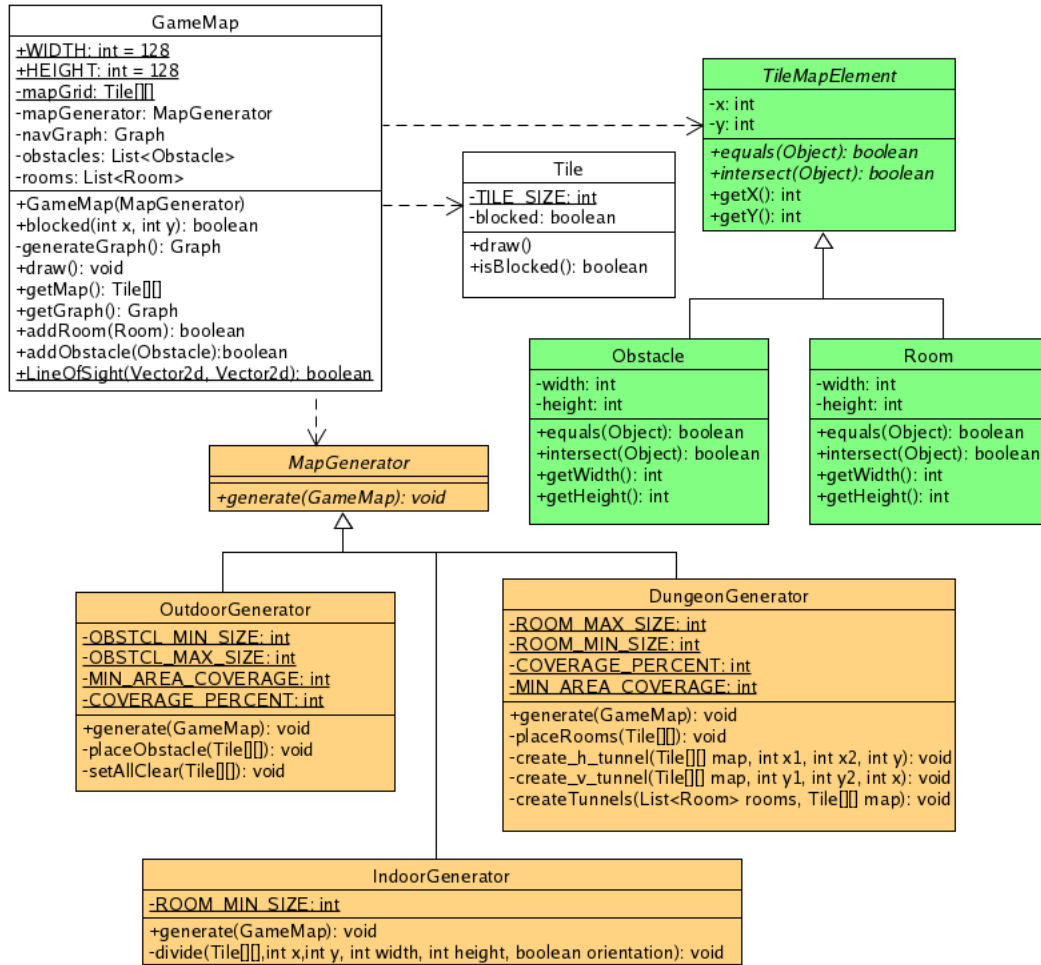


Figure 3.2: Classi GameMap, MapGenerator e TileMapElement

La classe **GameMap** è responsabile della definizione dell'ambiente di gioco. Come accennato nei capitoli precedenti, l'ambiente di gioco si basa su una griglia di dimensioni fissate (`WIDTH` e `HEIGHT`) di oggetti **Tile**. La classe **Tile** definisce un singolo tassello che andrà a comporre la mappa ed espone un unico metodo che ritorna il proprio stato booleano. Definisce inoltre la di-

mensione standard di ogni singolo tassello nella costante statica `TILE_SIZE`.

Il costruttore della classe `GameMap` riceve in ingresso un oggetto di tipo `MapGenerator`. Come si vede nella figura 3.2, `MapGenerator` è una interfaccia, le cui sottoclassi implementano il vero algoritmo di costruzione della mappa, secondo il design pattern *Strategy*. Sarà pertanto responsabilità di una delle sottoclassi di `MapGenerator` di definire la morfologia dell'ambiente di gioco cambiando lo stato dei tile della griglia. In tal modo si possono facilmente implementare nuove tipologie di mappe semplicemente estendendo tale interfaccia e facendo overriding sul metodo *generate()*. I generatori di mappe `Outdoor` e `Dungeon` in particolare istanziano degli oggetti che estendono la classe astratta `TileMapElement`, rispettivamente `Obstacle` e `Room`, delle quali viene mantenuto un riferimento nella classe `GameMap` per facilitare la costruzione della morfologia di tali tipi di mappa come vedremo nel capitolo successivo.

Una volta costruita la morfologia della mappa, viene costruito il suo grafo di navigazione partendo da un grafo inizialmente vuoto. Vengono poi istanziati ed aggiunti al grafo degli oggetti di tipo `Node` per ogni cella non bloccata. Gli oggetti di tipo `Node` sono identificati da un intero secondo lo schema visto nella sezione 1.2.3 per convertire facilmente il numero che identifica il nodo nelle sue coordinate geometriche sulla griglia. Infine, per ogni nodo istanziato si controllano le coordinate geometriche delle celle adiacenti e se il loro stato non è bloccato allora viene istanziato e aggiunto al grafo un oggetto di tipo `Edge` che rappresenta un arco tra due nodi e con peso unitario se si tratta di un arco ortogonale o $\sqrt{2}$ se si tratta di un arco diagonale.

La classe `GameMap` espone inoltre alcuni metodi utili a verificare ad esempio se una certa coordinata è bloccata o meno, metodi *getter* per ottenere la griglia o il grafo, metodi per aggiungere ostacolo o stanze (usati solo dai relativi generatori) ed in fine un metodo statico che controlla se due punti sulla mappa sono in linea di visibilità o meno.

3.3 Entità e comportamento

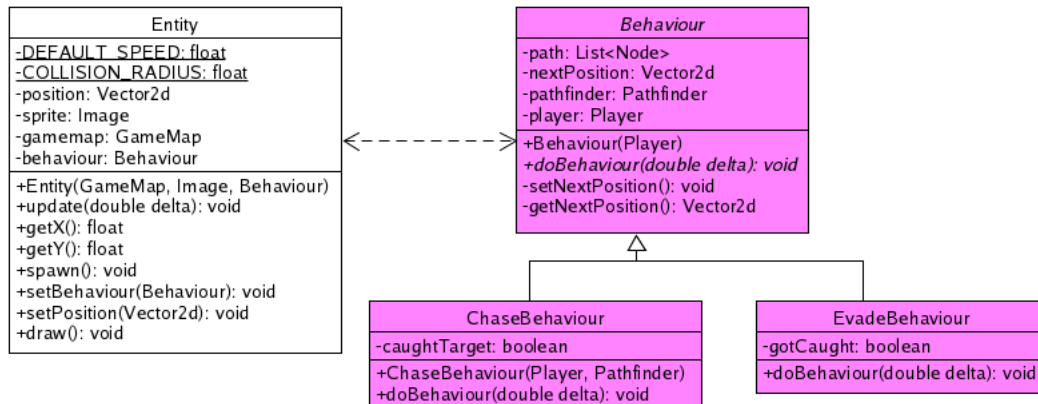


Figure 3.3: Classe Entity e Behaviour

La classe *Entity* definisce ogni agent all'interno dell'intero sistema di gioco, rendendola una delle classi più importanti dell'intero sistema. Tra i suoi attributi vi sono alcune costanti che definiscono la velocità e il raggio di collisione, la posizione espressa in coordinate geometriche, l'immagine da renderizzare sulla mappa, un riferimento alla mappa di gioco e un oggetto di tipo *Behaviour*. La classe *Entity* rappresenta solamente il modello di una entità. Infatti le funzionalità di cervello pensante, e quindi di controller, di ciascuna entità sono delegate ad un oggetto che estende la classe astratta *Behaviour*. Applicando il design pattern Strategy sulla classe astratta *Behaviour* è possibile definire molteplici comportamenti per un *Entity*. Similmente alla classe *Player*, attraverso il metodo *update()* che riceve in ingresso la grandezza di un lasso di tempo delta calcolato nel game loop verrà calcolato lo spostamento di un *Entity*.

Il comportamento di un *Entity* sarà dunque definito in una sottoclasse di *Behaviour* facendo *overriding* sul metodo *doBehaviour()*. Tale metodo viene chiamato ogni volta che dal game loop si richiede che l'entità venga aggiornata. La classe mantiene inoltre un riferimento ad un oggetto *Pathfinder*,

che potrà variare a seconda del tipo effettivo della classe Behaviour.

Sono stati implementati due tipi di comportamento che una unità di gioco può assumere rispetto al giocatore (o se si vuole rispetto a un'altra Entity) rispettivamente ChaseBehaviour ed EvadeBehaviour. La classe ChaseBehaviour definisce un comportamento di inseguimento di un Entity rispetto il giocatore. Utilizza di default come pathfinder una istanza di *LazyMovingAdaptiveAStar*. Mantiene inoltre una flag booleana che indica se l'Entity ha raggiunto l'obiettivo ed in tal caso smette di muovere l'Entity. La classe EvadeBehaviour definisce invece un comportamento di evasione di un Entity rispetto il giocatore. Utilizza di default come pathfinder una istanza di *Trailmax*. Mantiene inoltre una flag di stato che indica se l'Entity è stato raggiunto dal giocatore e in tal caso smette di muovere l'unità di gioco.

3.4 Pathfinder

Le classi in figura 3.4 rappresentano e definiscono gli algoritmi descritti nel capitolo precedente. Tutti gli algoritmi di ricerca sviluppati nel framework implementano l'interfaccia pathfinder e fanno overriding sul metodo *getShortestPath()*, nel quale risiede l'implementazione vera e propria dell'algoritmo in questione e che ritorna una lista di nodi che compongono il percorso trovato. Per gestire la priorità dei nodi da processare (la coda Open) è stata utilizzata una implementazione della struttura dati *FibonacciHeap*, fornita dalla libreria JGraphT. Per tener traccia dei nodi predecessori (cameFrom) e dei valori g() sono state utilizzate delle HashMap. Infine sono stati usati degli HashSet per i nodi processati (Closed).

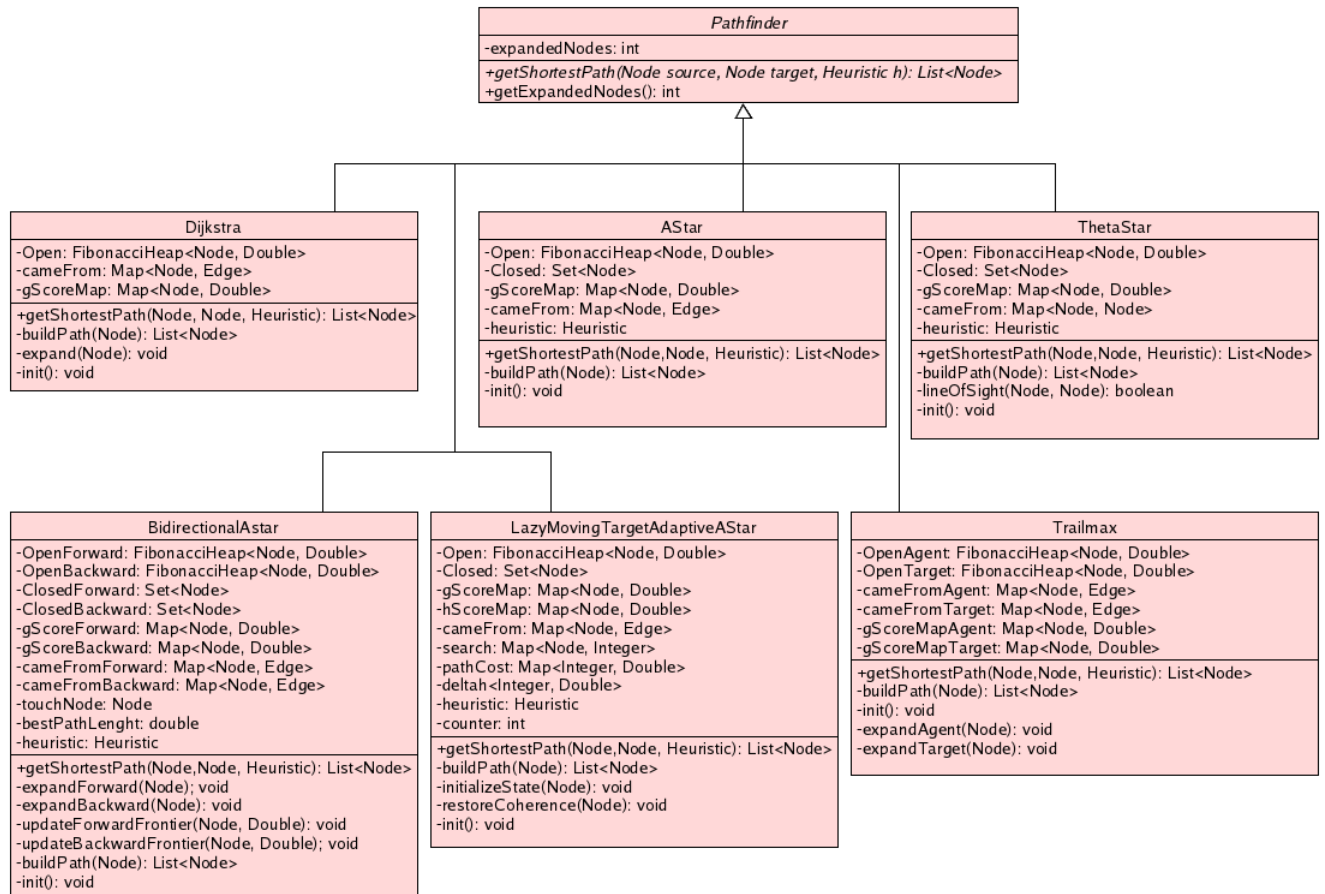


Figure 3.4: Classi Pathfinder

Chapter 4

Applicazioni e Risultati sperimentali

In questo capitolo verranno messi a confronto i diversi algoritmi di pathfinding implementati e verranno descritti gli esperimenti condotti per la valutazione di questi ultimi. Prima della parte sperimentale descriverò la logica di generazione degli ambienti dove saranno condotti gli esperimenti.

4.1 Le Mappe

Al fine dell'esperimento sono state sviluppate tre diverse metodologie di generazione pseudocasuale di mappe basate su griglie connesse in 8 direzioni. Le metodologie di generazione sono descritte nelle prossime sezioni.

4.1.1 Mappe Dungeon

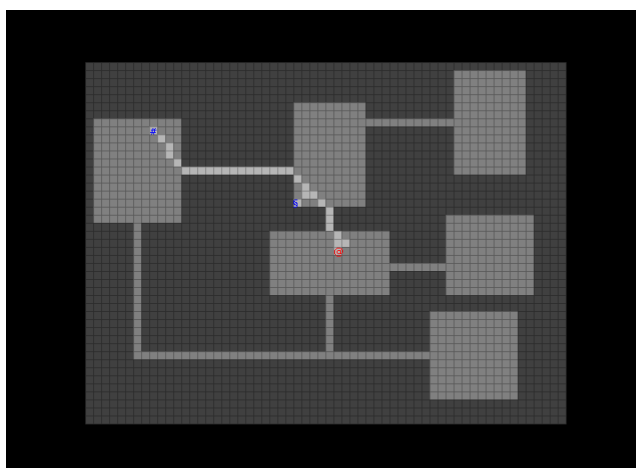


Figure 4.1: mappa Dungeon

Questo tipo di mappa si compone di grandi stanze che consistono in un rettangolo di tile traversabili collegate fra loro da lunghi corridoi. Per la realizzazione di questo tipo di mappa ci si è liberamente ispirati allo stile delle mappe sotterranee tipiche della saga di *Dungeons and Dragons* (vedi figura 4.2).

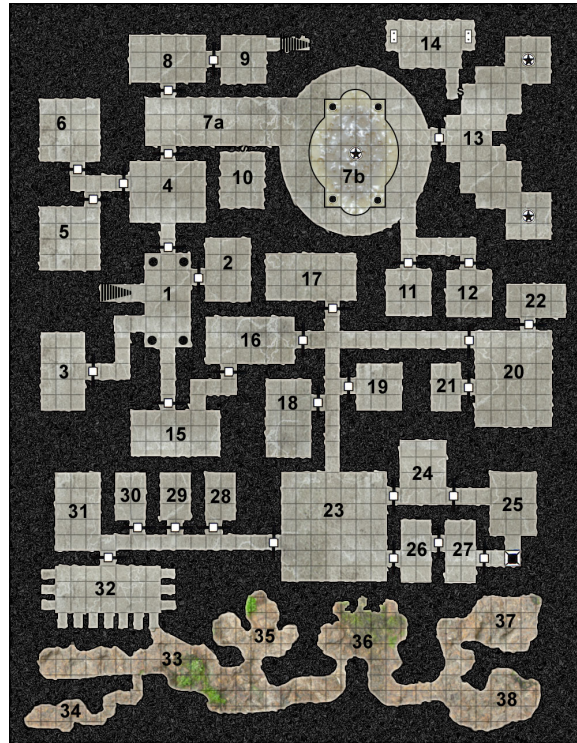


Figure 4.2: Esempio mappa Dungeons and Dragons

L'algoritmo utilizzato per la generazione di questo tipo di mappa prende in ingresso una griglia di interi interamente riempita di 1 con cui si rappresentano dei tile bloccati. In seguito sceglie in modo casuale (ma entro un certo range prestabilito) la posizione e le dimensioni di una stanza da posizionare nella mappa. Tali parametri vengono scelti in modo da non sovrapporsi con quelle già posizionate. Infine, quando la somma delle aree delle *stanze* posizionate sarà maggiore o uguale a una percentuale prestabilita, l'algoritmo provvederà a connetterle creando dei tunnel ortogonali da una stanza a un'altra. In particolare, iterativamente ogni stanza verrà connessa con quella successivamente creata mediante un tunnel di locazioni traversabili i cui estremi sono i centri delle stanze di partenza e di arrivo. Nel caso in cui sia l'ascissa che l'ordinata dei due centri sono distinti, un fattore di casualità del 50% determinerà se il tunnel creato sarà prima orizzontale e

poi verticale o viceversa. L'algoritmo utilizzato e' il seguente:

Algorithm 8: Dungeon map generator

Input: Array bidimensionale di interi con dimensioni *WIDTH* x *HEIGHT*

Result: L'array bidimensionale in ingresso viene elaborato in una mappa

```

1 Function main (map)
2   while covered_area < COVERAGE_PERCENTAGE do
3     /* assegno le dimensioni della stanza e la sua
       posizione randomicamente */
4     w ← random((ROOM_MAX_SIZE - ROOM_MIN_SIZE) +
5               1) + ROOM_MIN_SIZE;
6     h ← random((ROOM_MAX_SIZE - ROOM_MIN_SIZE) +
7               1) + ROOM_MIN_SIZE;
8     x ← random(WIDTH - W - 1) + 1;
9     y ← random(HEIGHT - H - 1) + 1;
10    room ← new Room(w,h,x,y);
11    noGood ← false;
12    for r ∈ rooms /* controllo che non ci siano
       sovrapposizioni con le stanze gia' presenti */
13    do
14      if room.intersect(r) then
15        noGood ← true;
16        break;
17      end
18    end
19    if !noGood /* riempio di zeri la griglia nelle
       coordinate corrispondenti alla stanza */
20    then
21      for i = room.X to (room.X + room.W) do
22        for j = room.Y to (room.Y + room.H) do
23          mapij ← 0;
24        end
25      end
26      rooms.add(room);
27      covered_area ← covered_area + room.getArea();
28    end
29  end
30  createTunnels(map); /* connetti le stanze create */

```

```

27 Function createTunnels(map)
28   prev  $\leftarrow \emptyset$ ;
29   for r  $\in$  rooms do
30     if r.hasPrev() then
31       prev  $\leftarrow$  r.prev;
32       if random(range(0,100)) > 50 /* decido
          casualmente se creare prima un tunnel
          orizzontale e poi verticale o viceversa */
33       then
34         createHorizontalTunnel( map, prev.getCenterX()
          r.getCenterX(), prev.getCenterY() );
35         createVerticalTunnel( map, prev.getCenterY()
          r.getCenterY(), r.getCenterX() );
36       end
37       else
38         createVerticalTunnel( map, prev.getCenterY()
          r.getCenterY(), prev.getCenterX() );
39         createHorizontalTunnel( map, prev.getCenterX()
          r.getCenterX(), r.getCenterY() );
40       end
41     end
42   end
43 Function createHorizontalTunnel(map, x1, x2, y)
44   for i = min(x1, x2) to max(x1, x2) do
45     | mapi,y  $\leftarrow$  0;
46   end
47 Function createVerticalTunnel(map, y1, y2, x)
48   for j = min(y1, y2) to max(y1, y2) do
49     | mapx,j  $\leftarrow$  0;
50   end

```

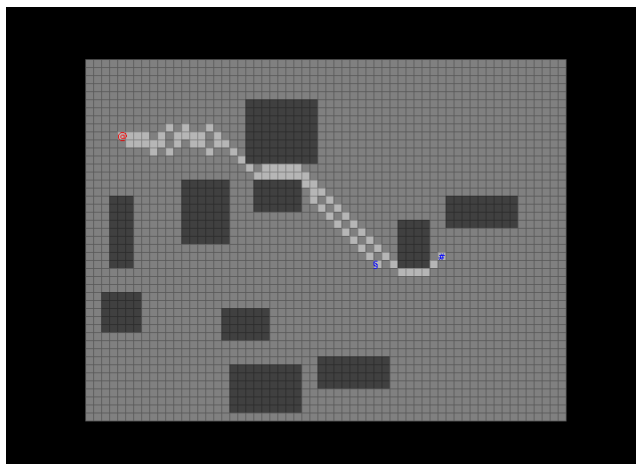


Figure 4.3: mappa Outdoor

4.1.2 Mappe Outdoor

Questo tipo di mappa, in maniera speculare al tipo di mappa della sezione precedente, si caratterizza da una griglia completamente riempita da tile traversabili dove vengono posizionati casualmente degli ostacoli rettangolari composti di tile bloccati di dimensioni a loro volta casuali. Come nella tipologia di mappe precedenti, gli ostacoli vengono posizionati in modo da non sovrapporsi, perchè dotati del medesimo metodo *intersect()*. L'algoritmo utilizzato e' grossomodo speculare a quello di generazione delle mappe di tipo *Hallways*, fatta eccezione per la creazione dei tunnel. L'algoritmo di generazione terminerà dunque quando una certa percentuale di area di gioco sarà coperta da ostacoli.

4.1.3 Mappe Indoor

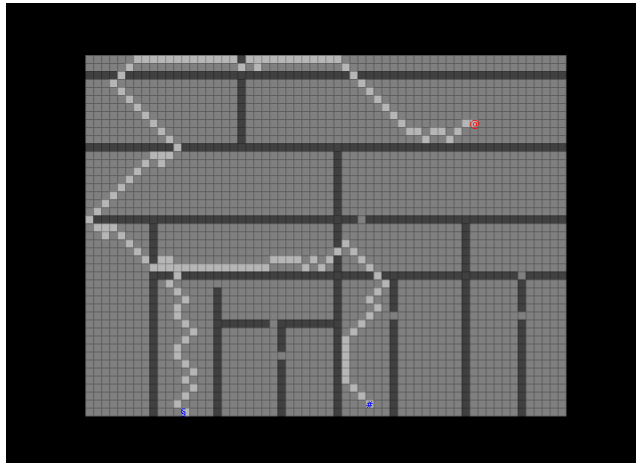


Figure 4.4: mappa Indoor

L'ultimo tipo di mappa realizzato consiste in uno spazio partizionato in diversi sottospazi (o stanze) servendosi di *tile* non traversabili come muri divisorii. Per rendere raggiungibili le stanze fra loro ogni muro divisorio contiene un varco traversabile. L'algoritmo utilizzato divide ricorsivamente una griglia inizialmente totalmente traversabile. A seconda dell'orientamento, esso divide la griglia orizzontalmente o verticalmente disegnando un muro divisore e scegliendo un punto casuale su di esso dove posizionare il passaggio. In seguito dividerà ricorsivamente i due sottospazi partizionati con orientamento opposto, finchè non verterà raggiunto il caso base della ricorsione, ossia quando le stanze avranno dimensioni minori del minimo ammissibile.

Algorithm 9: indoor map generator

Data: ROOM_MIN_SIZE: integer**Input:** ;Array bidimensionale di interi con dimensioni *WIDTH* x *HEIGHT*

di soli zeri ;

offset di x e y ;

larghezza ed altezza della stanza ;

orientamento della divisione da effettuare

Result: L'array bidimensionale in ingresso viene elaborato in una mappa di tipo indoor

```

1 Function divide (map, x_offset, y_offset, width, height, orientation)
2   if (width < ROOM_MIN_WIDTH) OR
      (height < ROOM_MIN_HEIGHT) then
3     return;
4   end
      /* divido orizzontalmente o verticalmente */
5   horizontal  $\leftarrow$  orientation == true;
      /* scelgo da dove comincerà' il muro */
6   if horizontal then
7     | wx  $\leftarrow$  x_offset;
8     | wy  $\leftarrow$  y_offset + random(height - 2);
9   end
10  else
11    | wx  $\leftarrow$  x_offset + random(width - 2);
12    | wy  $\leftarrow$  y_offset;
13  end
      /* scelgo un punto lungo il muro da usare come
          passaggio */
14  if horizontal then
15    | px  $\leftarrow$  wx + random(width);
16    | py  $\leftarrow$  wy;
17  end
18  else
19    | px  $\leftarrow$  wx;
20    | py  $\leftarrow$  wy + random(height);
21  end
      /* scelgo la lunghezza del muro */
22  if horizontal then
23    | length  $\leftarrow$  width;
24  end
25  else
26    | length  $\leftarrow$  height;
27  end

```

```

28      /* disegno il muro                                     */
29      if horizontal then
30          dx ← 1;
31          dy ← 0;
32      end
33      else
34          dx ← 0;
35          dy ← 1;
36      end
37      for i = 0 to lenght do
38          if wx ≠ px AND wy ≠ py then
39              mapwx,wy ← 1;
40          end
41          wx ← wx + dx;
42          wy ← wy + dy;
43      end
44      nx ← x_offset;
45      ny ← y_offset;
46      /* se ho diviso orizzontalmente, dividi al di sopra
47         del muro e poi al di sotto. Altrimenti prima a
48         sinistra e poi a destra                                     */
49      if horizontal then
50          new_width ← width;
51          new_height ← wy - y_offset + 1;
52      end
53      else
54          new_width ← wx - x_offset + 1;
55          new_height ← height;
56      end
57      divide(map, nx, ny, new_width, new_height, w < h);
58      if horizontal then
59          nx ← x_offset;
60          ny ← wy + 1;
61          new_width ← width;
62          new_height ← y_offset + height - wy - 1;
63      end
64      else
65          nx ← wx + 1;
66          ny ← y_offset;
67          new_width ← x_offset + width - wx - 1;
68          new_height ← height;
69      end
70      divide(map, nx, ny, new_width, new_height, w < h);
71  end

```

4.2 Setup sperimentale

Gli esperimenti sono stati condotti sui 3 tipi di mappe descritti in questo capitolo. Per i 3 tipi di mappe precedentemente descritte sono state generate 80 esemplari casuali di dimensioni 128×128 . Per ammortizzare la varianza l'esperimento verrà ripetuto 30 volte per ogni mappa, scegliendo casualmente 30 coppie di nodi. Tutte le mappe generate ammettono spostamenti in 8 direzioni, ed è stata pertanto utilizzata la octile distance come funzione euristica. Compareremo Lazy Moving Target Adaptive-A* con Bidirectional-A*, A* e Dijkstra. Gli esperimenti sono stati condotti su un PC Lenovo ThinkPad T430 con processore Quad-Core Intel(R) Core(TM) i5-3360M CPU @ 2.80GHz e 4GB di memoria disponibili.

4.2.1 Moving Target Test

In questo tipo di test viene posizionato un agent *inseguitore* nella cella di partenza, il quale calcola un percorso verso l'agent posizionato nella cella di arrivo e si muove lungo quel percorso. A sua volta l'agent-target posizionato nella cella di arrivo calcola una via di fuga rispetto l'agent inseguitore con l'algoritmo Trailmax e si muove lungo tale percorso di evasione ma con una frequenza minore dell'agent inseguitore per garantire che l'agent-target venga raggiunto. In tal modo l'agent inseguitore è costretto a calcolare periodicamente un nuovo percorso ogni volta che l'agent-target si sposta lungo il suo percorso di fuga. Tutti gli algoritmi testati generano gli stessi percorsi e pertanto il numero di spostamenti e di ricerche è approssimativamente lo stesso. Possono differire leggermente perchè l'agent target potrebbe calcolare diverse vie di fuga a parità di punti di partenza e di arrivo. Riporteremo tre parametri per la valutazione dell'efficienza degli algoritmi testati, ossia il numero di celle esplorate (finchè il target non è raggiunto) e il tempo totale di ricerca (finchè il target non è raggiunto) e il tempo medio di ricerca. Per calcolare il tempo medio si divide il tempo totale di ricerca per il numero

di ricerche. Nelle parentesi quadre è riportata anche la deviazione standard della media del dato a cui si riferisce per dimostrare il significato statistico dei risultati. Il modo più ragionevole per comparare questi algoritmi potrebbe essere usando il tempo medio di ricerca. Tuttavia esistono diversi fattori in grado di influenzare questo dato, tra i quali il set di istruzioni del processore a basso livello, le ottimizzazioni effettuate dal compilatore e *coding decisions*. I risultati raccolti sono mostrati nella tabella 4.1.

Table 4.1: Risultati Moving Target Test

Mappe Indoor [128 x 128]					
	(a)	(b)	(c)	(d)	(e)
Dijkstra	59998	325955	196985912 [1374079.83]	457375 [3713.48]	7.62
A*	59527	325531	72426330 [738483.62]	232646 [2201.19]	3.90
BidirectionalA*	61674	333168	96354496 [897852.14]	318996 [3123.85]	5.17
LMTAA*	59850	325463	47225902 [467953.82]	183409 [1906.68]	3.06
Mappe Outdoor [128 x 128]					
Dijkstra	33034	184782	75214932 [369453.94]	137655 [1390.61]	4.16
A*	31283	182788	4713514 [22905.72]	16403 [419.91]	0.52
BidirectionalA*	31687	184195	5097733 [27219.57]	18066 [509.82]	0.57
LMTAA*	31507	182978	4656222 [22239.15]	23478 [460.13]	0.74
Mappe Dungeon [128 x 128]					
Dijkstra	94898	227818	139216186 [379096.35]	173209 [445.51]	1.82
A*	93844	226848	20696365 [92937.03]	31412 [127.43]	0.33
BidirectionalA*	94897	229313	24812703 [123594.4]	39316 [172.94]	0.41
LMTAA*	94059	227060	17834146 [73994.16]	41126 [155.69]	0.43

(a) = numero di ricerche finchè il target non è raggiunto;

(b) = numero di mosse finchè il target non è raggiunto;

(c) = totale delle celle espase finchè il target non è raggiunto [deviazione standard della media];

(d) = tempo totale di ricerca finchè il target non è raggiunto (in millisecondi) [deviazione standard della media];

(e) = tempo medio di ricerca (in millisecondi)

Dai risultati raccolti si evince che per tutti e 3 i tipi di mappe LMTAA* è risultato il migliore in termini di nodi espansi rispetto tutti gli altri algoritmi di ricerca, ma non in termini di tempo di ricerca, per il quale A* è risultato per quasi tutti i casi sempre il migliore, fatta eccezione per le mappe indoor, dove LMTAA* è risultato migliore anche in tempo di ricerca.

Il motivo per il quale LMTAA*, pur espandendo meno nodi degli altri algoritmi di ricerca, non risulta il migliore anche in termini temporali di A* è perchè LMTAA* esegue un numero maggiore di operazioni basilari per una singola iterazione rispetto ad A*, quali ad esempio accessi ad *hashmap* di

dimensioni molto elevate. Queste operazioni di accesso ad hashmap giustificano l'*overhead* generato da una singola iterazione di LMTAA* rispetto ad una singola iterazione di A*.

LMTAA* è risultato in particolar modo più efficace degli altri algoritmi di ricerca negli esperimenti condotti sulle mappe di tipologia indoor. L'algoritmo A*, ed in generale gli algoritmi di ricerca euristici, hanno difficoltà a calcolare una soluzione sulle mappe concave poichè, per loro natura, tendono ad esplorare i nodi più vicini al target, spesso allargando la loro frontiera di esplorazione ai nodi presenti nelle concavità della mappa che di fatto non sono utili a calcolare un percorso ottimo verso il target poichè conducono ad un vicolo cieco.

Questo è il caso delle mappe indoor, nelle quali l'algoritmo A*, ad ogni ricerca del nodo target, è forzato ad esplorare tutti i nodi che compongono una singola stanza, prima di arrivare al target, contrariamente ad LMTAA*, che all'aumentare delle ricerche diventa sempre più consapevole della distanza reale di ogni nodo verso il target come mostrato nell'esempio nella sezione 2.5, escludendo quindi quei nodi che di fatto conducono ad un vicolo cieco.